

# متاپلیت‌های گرمی‌چای، شمال‌غرب ایران: شیمی سنگ کل، زادگاه رسوبی و شرایط دگرگونی

امیر محامد<sup>۱</sup>، محسن مؤید<sup>(۲)</sup> و منیر مجرد<sup>۳</sup>

۱. دانشجوی دکتری، گروه زمین‌شناسی، دانشکده علوم طبیعی، دانشگاه تبریز
۲. استاد، گروه زمین‌شناسی، دانشکده علوم طبیعی، دانشگاه تبریز
۳. دانشیار، گروه زمین‌شناسی، دانشکده علوم، دانشگاه ارومیه

تاریخ دریافت: ۹۸/۰۹/۱۱

تاریخ پذیرش: ۹۸/۱۱/۰۱

## چکیده

بهمنظور بررسی زادگاه رسوبی و شرایط دگرگونی متاپلیت‌های گرمی‌چای واقع در شمال شهرستان میانه (شمال‌غرب ایران) شیمی سنگ کل این مجموعه مورد بررسی قرار گرفته است. بررسی‌های پتروفابریک حاکی از شکل‌گیری همزمان با تکتونیک پورفیروبلاست‌های کردبریت (دگرگونی ناحیه‌ای) در این سنگ‌ها است. همچنین ساختارهای بشی C ویژگی بارز بافتی می‌باشد. دو فاز دگرگونی ناحیه‌ای ( $RMP_1$  و  $RMP_2$ )، یک فاز دگرگونی مجاورتی (CM) و دو فاز دگرشکلی ( $D_1$  و  $D_2$ ) شناسایی شده‌اند. ژئوشیمی عناصر اصلی حاکی از سنگ مادر شیلی و گریوکی برای متاپلیت‌ها است. بر اساس عناصر اصلی، واسطه و کمیاب (Zr, TiO<sub>2</sub>, K<sub>2</sub>O, Ni و Ti) سنگ آذرین مولد این رسوبات دارای سرنشیت آندزیتی و داسیتی/ریوداسیتی بوده است. درجه دگرگونی شیمیایی (CIW) سنگ آذرین اولیه متوسط بوده است. همچنانی برمنای اکسید عناصر اصلی محیط تکتونیکی تشکیل رسوب، حاشیه فعال قاره‌ای شناسایی شده است. متاپلیت‌های گرمی‌چای در داخل مثلث‌های پاراژنتیک قرار می‌گیرند که حاکی از تعادلی بودن آنها است. بر اساس مقاطع ترکیبی استاندارد برای متاپلیت‌ها بازه دماهی و فشاری تشکیل درجه بالاترین پاراژنتریتی ۵۳۵ تا ۶۳۵ درجه سانتی‌گراد و یک تا سه کیلوبار بوده است.

**واژه‌های کلیدی:** پتروفابریک، زادگاه رسوبی، ژئوشیمی، گرمی‌چای، متاپلیت.

## مقدمه

درک جامع متاپلیت‌ها نیازمند بررسی کامل سنگ از منظر پتروگرافی، پتروفابریک، کانی‌شناسی، ژئوشیمی، سنگ منشاء، هوازدگی و همچنین متغیرهای ترمودینامیکی نظری Bucher and Frey, 1994; Spear, 1995. زادگاه رسوبی و فرآیندهای هوازدگی نقش بسیار مهمی در محصول نهایی که متاپلیت امروزیست دارد. یکی

پوسته قاره‌ای در طول تکامل خود متحمل فرآیندهای متعددی شده که منجر به شکل‌گیری سرزمین‌های دگرگونی می‌شوند (Condie, 1997; Hawkesworth et al., 2019).

متاپلیت‌ها جزء فراوان‌ترین و مهم‌ترین سنگ‌های سرزمین‌های دگرگونی ناحیه‌ای هستند (Bucher and Frey, 1994).

\* نویسنده مرتبط: moayyed@tabrizu.ac.ir

## روش مطالعه

برای بررسی‌های پتروگرافی و پتروفابریک تعداد ۴۵ مقطع نازک از سنگ‌های شیستی منطقه تهیه شدند. از این بین ۱۴ نمونه معرف برای بررسی‌های ژئوشیمیایی انتخاب شدند. شیمی سنگ کل عناصر اصلی و جزئی سنگ‌های شیستی به ترتیب با روش‌های XRF و ICP-MS در آزمایشگاه MSALABS در کانادا انجام شد. بهمنظور احلال برای عناصر مختلف از روش‌های متفاوت استفاده شده است: در روش اول از مخلوطی از اسیدهای هیدروکلریک و نیتریک (روش هضم) بعنوان عامل اکسید کننده برای احلال بیشتر اسیدهای هیدروکلریک، نیتریک، پرکلریک و هیدروفلوریک مورد استفاده قرار می‌گیرد. در این روش فقط کانی‌هایی که در برابر احلال بسیار مقاوم هستند حل نخواهند شد. در روش گداختگی لیتیوم متابورات<sup>۱</sup> نمونه‌های پودر شده در دمای ۱۰۰۰ درجه سانتیگراد با استفاده از لیتیوم متابورات گداخته شده و سپس مذاب حاصله در یک نیتریک اسید ضعیف حل می‌شود. این روش قادر به تعیین حدود سیزده اکسید اصلی می‌باشد. در روش چهارم گداختگی سدیم پراکسید با دمای کمتر از گداختگی لیتیوم متابورات استفاده می‌شود. چهار روش مختلف در این آزمایشگاه با کد تعریف شده مورد استفاده قرار گرفته است که در جدول ۱ قابل مشاهده می‌باشند. دقت آزمایش ۰/۱٪ درصد برای عناصر اصلی است. دقت برای عناصر جزئی متغیر می‌باشد. در آخر بررسی و تحلیل داده‌ها به منظور ارزیابی زادگاه رسوبی و شرایط دگرگونی انجام شده است.

از رویکردهای مطالعات زادگاه رسوبی بررسی ترکیب رسوبات در چهارچوب تکتونیک صفحه‌ای می‌باشد. مطالعات زادگاه رسوبی مسیری را از سنگ امروزی تا قدیمی ترین منشاء رسم می‌کند. این مسیر رخدادهای متعددی را شامل می‌شود که از آن جمله: مآگماتیسم، رسوب‌گذاری در حوضه‌های رسوبی، هوازدگی، فرسایش و دگرگونی است. تمامی این رخدادها با هم یا به‌طور مجزا می‌توانند واحد سنگی نهایی را تحت تأثیر قرار دهند. سنگ‌های رسوبی تخریبی اطلاعاتی از منشاء‌های اقیانوسی یا قاره‌ای که تحت تأثیر فرآیندهای تکتونیکی بعدی، فرسایش و دگرگون شده‌اند در اختیار قرار می‌دهند (Nesbitt et al., 2009; Elias and Al-Jubory, 2013). ترکیب شیمیایی این سنگ‌ها برای بررسی زادگاه رسوبی و شرایط رسوب‌گذاری مورد استفاده قرار می‌گیرد (Young and Nesbitt, 1998; Bierlein, 1995). در طول یک چرخه رسوبی بسیاری از عناصر جزئی (مانند REEs، Co، Th, Hf, Sc و Cr) در سیالات آبدار بشدت نامتحرك می‌باشند، بنابراین بدون کاهشی قابل توجه از سنگ منشاء به رسوبات منتقل می‌شوند (Nesbitt, 1998; Girty et al., 1996; McLennan and Taylor, 1991). در نتیجه این عناصر به دلیل تحرک به نسبت پایین خود در طول هوازدگی، انتقال، سنگ‌شدنگی و دگرگونی برای مطالعات زادگاه رسوبی بسیار مناسب هستند (Girty et al., 1996; McLennan and Taylor, 1991). در مطالعه حاضر نظر بر این است که ویژگی‌های پتروگرافی و پتروفابریکی، ژئوشیمیایی، محیط تکتونیکی، شیمی بلور و زادگاه رسوبی متاپلیت‌های گرمی چای مورد بررسی قرار گیرند.

جدول ۱. روش‌های مورد استفاده در آنالیز شیمی سنگ کل متاپلیت‌های منطقه گرمی چای (روش ICP-MS)

ANALYTICAL METHODS	
METHOD CODE	DESCRIPTION
IMF-5Ni	Ni, 0.2g, 4-Acid, ICP-AES/MS, Ultra Trace Level
IMF-5Co	Co, 0.2g, 4-Acid, ICP-AES/MS, Ultra Trace Level
IMF-5Sc	Sc, 0.2g, 4-Acid, ICP-AES/MS, Ultra Trace Level
WRA-330	Whole Rock, C & S, Refractories and Rare Earth Elements

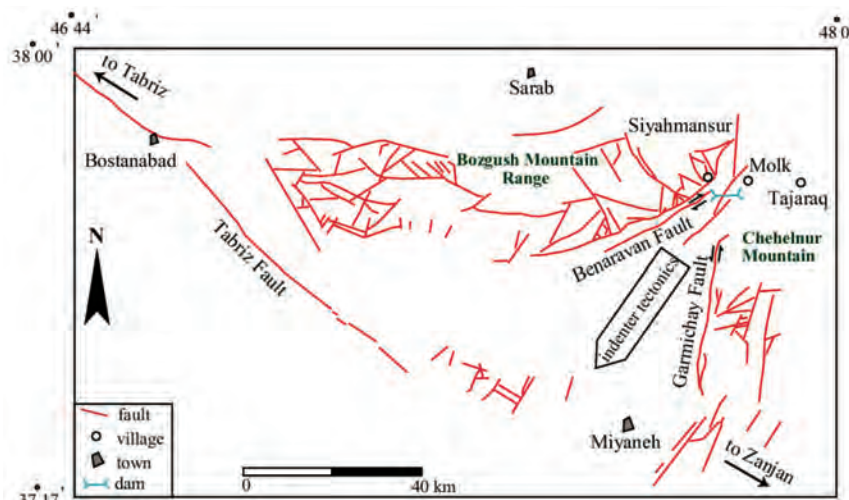
1. Aqua Regia

2. Lithium Metaborate Fusion

محصول برخورد ایران مرکزی با توران می‌باشدند (Stocklin, 1968a). حاشیه شرقی منطقه مورد مطالعه در بستر رودخانه گرمی چای قرار دارد. از جمله عناصر تکتونیکی مهم در منطقه آذربایجان می‌توان به گسل تبریز اشاره کرد که از زنجان به سمت شمال غرب گسترش پیدا کرده و شمال غرب آذربایجان را تحت تأثیر قرار داده است (علوی و همکاران، ۱۳۵۷). گسل راستگرد بناروان (گسل جنوب بزقوش) عنصر تکتونیکی دیگری در منطقه مورد مطالعه می‌باشد که در حاشیه جنوبی ارتفاعات بزقوش واقع شده است. عملکرد گسل‌های بناروان و گرمی چای منجر به شکل‌گیری تکتونیک فرار در منطقه مورد مطالعه شده است (شکل ۱).

## زمین‌شناسی

منطقه مورد مطالعه در شمال شهرستان میانه (استان آذربایجان شرقی)، شمال غرب ایران واقع شده است. این منطقه کم و بیش در محل تلاقی زون‌های زمین‌ساختاری Stocklin, ایران مرکزی والبرز-آذربایجان واقع می‌شود (Eftekharnajad, ۱۳۵۷؛ علوی و همکاران، ۱۹۶۸a؛ ۱۹۷۵). زون البرز ارتفاعات شمالی ایران را شامل می‌شود که از آذربایجان در غرب تا خراسان در شرق گسترش می‌یابد. به دلیل تشابهات سنگ‌ساختاری موجود در بین واحدهای البرز و ایران مرکزی ارتفاعات البرز به عنوان چین‌های حاشیه شمالی زون ایران مرکزی در نظر گرفته شده‌اند که



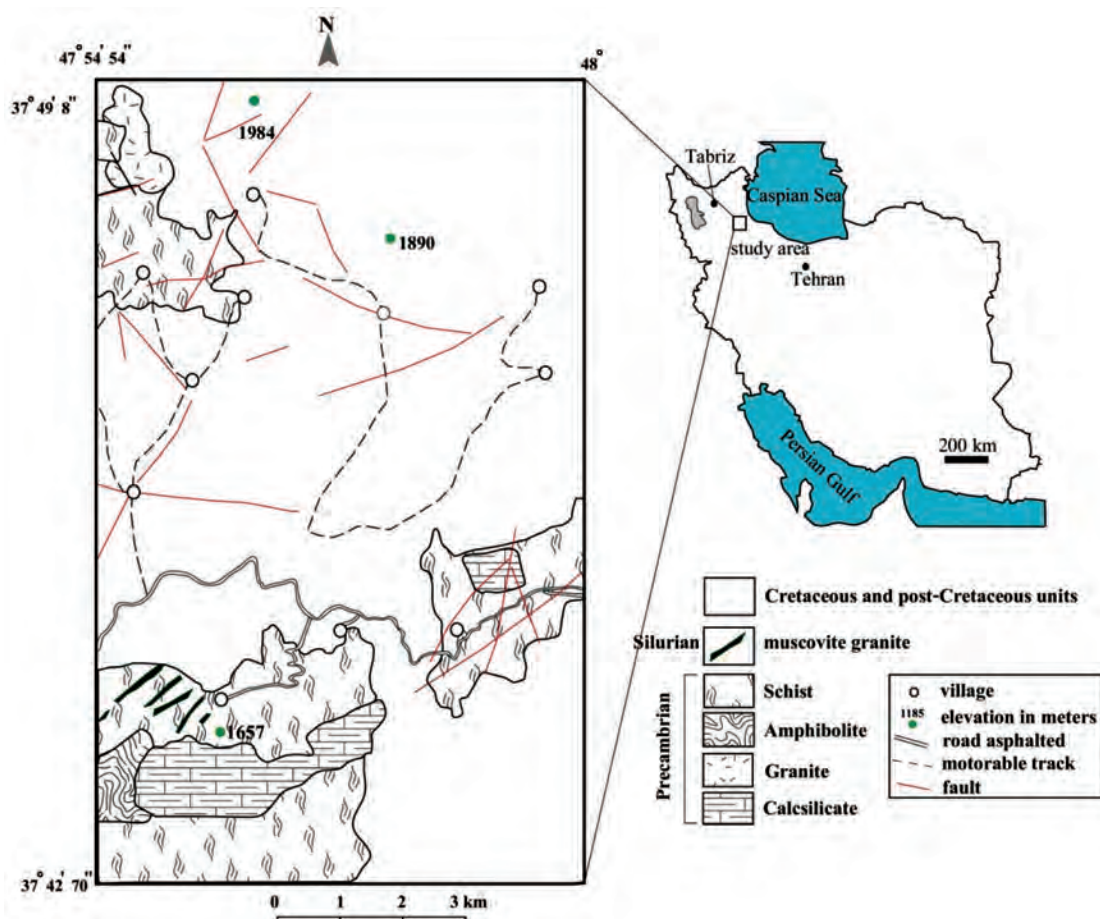
شکل ۱. تصویر موقعیت گسل‌های اصلی و فرعی منطقه گرمی چای، شمال میانه (با اقتباس از بهروزی و همکاران، ۱۳۷۱). گسله گرمی چای با روند شمالی-جنوبی و بناروان با روند شمال شرقی-جنوب غربی در منطقه مورد مطالعه واقع شده‌اند. عملکرد این دو گسل باعث ایجاد تکتونیک فرار به سمت جنوب‌غرب شده است

و جایگیری توده‌های نفوذی و گسلش قرار گرفته است و جایگیری توده‌های نفوذی و گسلش قرار گرفته است (Ramezani and Tucker, 2003). کمپلکس دگرگونی تکاب دارای تشابهات سنگ‌شناسی و زمین‌شناسی با ایران مرکزی می‌باشد (Saki, 2010). کمپلکس تکاب همانند ایران مرکزی با سن مشابه (Ramezani and Tucker, 2003) شاید محصول همگرایی صفحات عربی (گندوانا) و توران (اورازیا) در طول کوهزاد پان‌افریکن می‌باشد (Nadimi, 2007). این کمپلکس نیز همانند شیوه‌های منطقه گرمی چای دارای سنگ‌های متالیتی به سن پرکامبرین می‌باشدند که توده‌های نفوذی گرانیتی‌ئیدی در داخل آنها جایگیری کرده‌اند

واحدهای سنگی مختلفی در منطقه شناسایی شده‌اند که شیوه‌ت، آمفیبولیت، کالک‌سیلیکات، مرمر و گرانیت از آن جمله‌اند (علوی و همکاران، ۱۳۵۷؛ بهروزی و همکاران، ۱۳۷۱؛ محمدی و همکاران، ۱۳۹۹) (شکل ۲). از نظر سنگ‌شناسی و سنی شیوه‌های منطقه گرمی چای دارای تشابهاتی با سنگ‌های دگرگونی پرکامبرین ایران مرکزی هستند. به عنوان مثال می‌توان به سنگ‌های دگرگونی آنابولاغی در جنوب میانه و سنگ‌های دگرگونی پرکامبرین تکاب اشاره کرد (علوی و همکاران، ۱۳۵۷؛ ۲۰۱۰). زون ایران مرکزی در طول کوهزاد پان‌افریکن در پرکامبرین بالایی تحت تأثیر دگرگونی

(بهروزی و همکاران، ۱۳۷۱). گروه دوم گرانیتوئیدهای تیپ A با سن نامشخص می‌باشد که در قالب استوکی کوچک در منطقه مورد مطالعه جایگیری کرده‌اند (محمدی و همکاران، ۱۳۹۹). دایکهایی از این گرانیت به داخل شیسته‌ها نفوذ کرده‌اند. گروه سوم گرانیت تیپ S می‌باشد. این گرانیت به صورت دایک که به داخل شیسته‌ها نفوذ کرده در منطقه قابل مشاهده می‌باشد و توده نفوذی بزرگی از آن شناسایی نشده است (محمدی و همکاران، ۱۳۹۹). داده سنی مطلقاً از این گرانیت نیز در دست نیست.

(Saki, 2010). بزرگترین تیپ سنگی موجود در منطقه مورد مطالعه شیسته‌ها می‌باشد. این سنگ‌ها متعلق به پرکامبرین بوده (علوی و همکاران، ۱۳۵۷) و به طور ناهمساز توسط واحدهای کلاستیک و کربناته کرتاسه پوشیده شده‌اند. به علاوه واحدهای آتشفسانی الیگومیوسن به داخل سنگ‌های دگرگونی نفوذ کرده‌اند. سنگ‌های گرانیتوئیدی منطقه مورد مطالعه به طور کلی به سه گروه تقسیم می‌شوند. گروه اول گرانیتوئیدهای جوان منطقه (الیگومیوسن) با آثار دگرگونی مجاورتی بر روی شیسته‌ها هستند که از تیپ I و A می‌باشند.



شکل ۲. نقشه زمین‌شناسی منطقه مورد مطالعه با اقتباس از نقشه زمین‌شناسی ۱:۱۰۰۰۰ سراب (بهروزی و همکاران، ۱۳۷۱) و داده‌های مطالعه حاضر

تابش نور آفتاب برق می‌زنند که ناشی از انعکاس نور خورشید توسط کانی‌های مسکویت می‌باشد. پورفیوبلاستهای آندالوزیت و کردیریت نیز به رنگ سفید در نمونه‌های دستی قابل مشاهده‌اند. شیسته‌ها بیشتر از مسکویت، بیوتیت،

پتروگرافی این سنگ‌ها در نمونه‌های دستی بصورت ورقه‌ای هستند که ناشی از شیستوزیتهای است که به وضوح در نمونه‌های دستی قابل مشاهده می‌باشد. به علاوه در اثر

این دسته از سنگ‌ها است.

**گروه دوم:** این گروه دارای مقادیر بسیار پایین‌تری از میکاها است و عمده‌تر از کوارتز تشکیل شده است. علت تفاوت در این دو گروه سنگی ناشی از میزان متفاوت کانی‌های رسی در سنگ مادر آنها می‌باشد. گروه دوم دارای ساخت متراکم‌تری است و شیستوزیتی نمود کمتری دارد. کوارتز (۷۰-۵۰ درصد)، بیوتیت (۴۰-۱۵ درصد) و مسکویت (۱۵ درصد) کانی‌های اصلی و پلازیوکلاز، تورمالین، زیرکن، آپاتیت، اسفن و کانی‌های اپک متشکله‌های فرعی این دسته را تشکیل می‌دهند. کانی‌های کوارتز دارای خاموشی موجی و کشیده می‌باشد (شکل f-۳). برخی از بیوتیت‌ها نیز کلریتی شده‌اند. بافت‌های شیستوز و لپیدوبلاستیک در این دسته نیز قابل مشاهده می‌باشند (شکل e-f-۳).

### فاز دوم دگرگونی ناحیه‌ای<sup>۲</sup>

تفاوت این فاز دگرگونی با فاز (RMP1) در پاراژن‌های کانیایی، ویژگی‌های بافتی و پتروفابریک می‌باشد. در این بخش به دو ویژگی اول و در بخش پتروفابریک به ویژگی سوم پرداخته خواهد شد. این فاز منجر به شکل‌گیری دومین گروه از پاراژن‌هایی شده که حاوی کانی‌های آندالوزیت و کردیریت بهمراه بیوتیت و مسکویت می‌باشند. این پاراژن‌ها بالاترین درجه دگرگونی را مشخص کرده و به سه گروه آندالوزیت‌دار، کردیریت‌دار و آندالوزیت-کردیریت‌دار تقسیم می‌شوند. کانی‌های اصلی شامل بیوتیت و مسکویت (۶۵-۳۰ درصد)، کوارتز (۳۰-۶۵ درصد)، کردیریت (حدود ۲۰-۱۰ درصد) و آندالوزیت (کمتر از ۱۵ درصد) می‌باشد. کانی‌های فرعی نیز شامل استارولیت، پلازیوکلاز، زیرکن، اسفن، آپاتیت، تورمالین و اپک می‌باشد. کلریت، پینیت و سریسیت بعنوان محصولات دگرسانی مشاهده می‌شوند. کانی استارولیت در برخی از نمونه‌ها و البته به مقدار خیلی کم (کمتر از دو درصد) مشاهده شده است. بسیاری از کانی‌های کردیریت پیش‌تر شده‌اند که البته نمونه‌های سالم و غیر دگرسان نیز وجود دارند (شکل h-۳، g). کانی‌های میکایی شیستوزیتی بارزی نشان می‌دهند. در نمونه‌های حاوی پورفیروبلاست،

آندالوزیت و کردیریت تشکیل شده‌اند. کانی‌های فرعی شامل تورمالین، زیرکن، پتاسیم‌فلدسبار، پلازیوکلاز، آپاتیت، استارولیت و کانی‌های اپک می‌باشد. در برخی از نمونه‌ها شیستوزیتی غالب سنگ دچار چین خوردگی شده و منجر به شکل‌گیری کلیوژ کرینولیشن شده است. برخی از کانی‌های کردیریت تحت تأثیر فرآیندهای آلتراسیون، پینیتی شده‌اند. تعداد چهار پاراژن غالب در شیست‌ها قابل شناسایی‌اند: ۱ - Qtz+Bt+Ms+And+Crd، ۲ - Qtz+Ms±Tur و Qtz+Bt+Ms+Crd±St - ۴ و Qtz+Bt+Ms+And±St - ۳ (Whitney and Ivans, 2010). حروف اختصاری کانی‌ها از ۲۰۱۰ می‌شود. به علاوه، کلریت، سریسیت و پینیت به عنوان محصول آلتراسیون کانی‌های بیوتیت و کردیریت تشکیل شده‌اند.

### پلی‌متامورفیزم در شیست‌ها

شیست‌های منطقه گرمی‌چای حداقل دو فاز دگرگونی ناحیه‌ای و یک فاز دگرگونی مجاورتی متحمل شده‌اند. همچنین دو فاز دگرشکلی در این سنگ‌ها ثبت شده است.

### فاز اول دگرگونی ناحیه‌ای<sup>۱</sup>

فاز اول دگرگونی ناحیه‌ای که اولین فاز قابل تشخیص در شیست‌ها می‌باشد منجر به شکل‌گیری کانی‌های بیوتیت، مسکویت و آندالوزیت شده است. پاراژن‌های مشاهده شده در این سنگ‌ها پاراژن شماره ۱ می‌باشد. بر اساس فراوانی میکا و کوارتز دو گروه قابل تشخیص هستند:

**گروه اول:** این گروه غنی از میکا است و بیشتر از کانی‌های مسکویت (۶۰-۷۰ درصد)، بیوتیت (۲۰-۳۰ درصد) و کوارتز (۱۰-۲۰ درصد) تشکیل شده است. جهت یافته‌گی ترجیحی کانی‌های میکایی در قالب شیستوزیت به وضوح مشاهده می‌شود (شکل a-۳). به علاوه کانی‌های کوارتز با خاموشی موجی شواهدی از رخداد تنش‌های جهت‌دار در قالب بلورهای کشیده و صفحه‌ای نشان می‌دهند. شیستوزیتی سنگ در برخی از نمونه‌ها دچار چین خوردگی شده است (شکل b-۳، c-d). بافت لپیدوبلاستی و شیستوز، ویژگی

1. RMP1: regional metamorphic phase 1

2. RMP2: regional metamorphic phase 2

دارای اهمیت ویرهای هستند چرا که همواره به کوچکترین تغییرات در متغیرهای ترمودینامیکی واکنش نشان می‌دهند (Spear, 1995; Bucher and Frey, 1995). ریزساختارها همواره توسط جهت‌یافته‌گی ترجیحی کانی‌ها در قالب فولیاسیون‌ها، لینه‌آسیون‌ها و جهت‌یافته‌گی ترجیحی شبکه Piazolo, S., 2002; Passchier and Trouw, 2005).

## حرکات برشی و توسعه بافتی شیست‌ها

مکانیزم‌های متعددی در شکل‌گیری ریزساختارهای زون‌های برشی دخیل می‌باشند. از آنجایی که دگرشكلى در زون‌های برشی دارای ماهیت شکل‌پذیر می‌باشد (Passchier, 2005) تبلور دوباره رشد بلورها را کنترل می‌کند. با اینحال پورفیروکلاست‌ها که در برابر دگرشكلى مقاومت نشان می‌دهند نقش مهمی در تقسیم‌بندی Passchier and Trouw, (2005). برخی از شیست‌های منطقه گرمی چای میلیونیتی شده‌اند و دارای ۸۰ تا ۹۰ درصد زمینه می‌باشند. بنابراین از نوع مزو میلیونیت تا الترامیلیونیت می‌باشند (شکل ۵). برخی از پورفیروکلاست‌ها دارای یک کریستال مرکزی منفرد با یک پوشش دانه ریز از همان جنس می‌باشند که پورفیروکلاست پوششی<sup>۲</sup> نامیده می‌شوند. پوشش دانه ریز می‌تواند متحمل کشیدگی شده و بالهایی را به موازات جهت‌یافته‌گی ترجیحی شکل دانه تشکیل دهد. از روی شکل این بال‌ها می‌توان جهت برش را مورد بررسی قرار داد (Passchier and Trouw, 2005). بر اساس شکل بال چهار نوع پورفیروکلاست پوششی در منابع شناسایی شده‌اند: نوع f، نوع s، نوع d و نوع پیچیده (شکل ۶-a).

پورفیروکلاست‌های پوششی از نوع Q قادر به بوده و دارای یک پوشش با تقارن ارتومبیک می‌باشند (Passchier, 1994) (شکل ۶-a). برخی از میلیونیت‌های منطقه گرمی چای دارای پورفیروکلاست‌های پوششی از نوع f و d می‌باشند (شکل ۶-b). از دیگر ویژگی‌های شیست‌های منطقه گرمی چای که متحمل دگرشكلى در زون‌های برشی شده‌اند،

میکاها در اطراف آنها دچار انحراف شده‌اند. همچنین سایه‌های فشاری کوارتز به صورت نامتقارن در طرفین بلورهای کردبریت مشاهده می‌شود (شکل ۴-a). بررسی برخی از بلورهای کردبریت حاکی از روند S شکل اینکلوزن‌ها در داخل آنهاست (شکل ۴-a). مجموعه این شواهد حاکی از تشکیل همزمان با تکتونیک پورفیروblast‌هاست. روابط بافتی روشی بین کانی‌های کردبریت و آندالوزیت در نمونه‌های حاوی این دو کانی مشاهده می‌شود (شکل ۴-b).

## فاز تأخیری دگرگونی مجاورتی<sup>۱</sup>

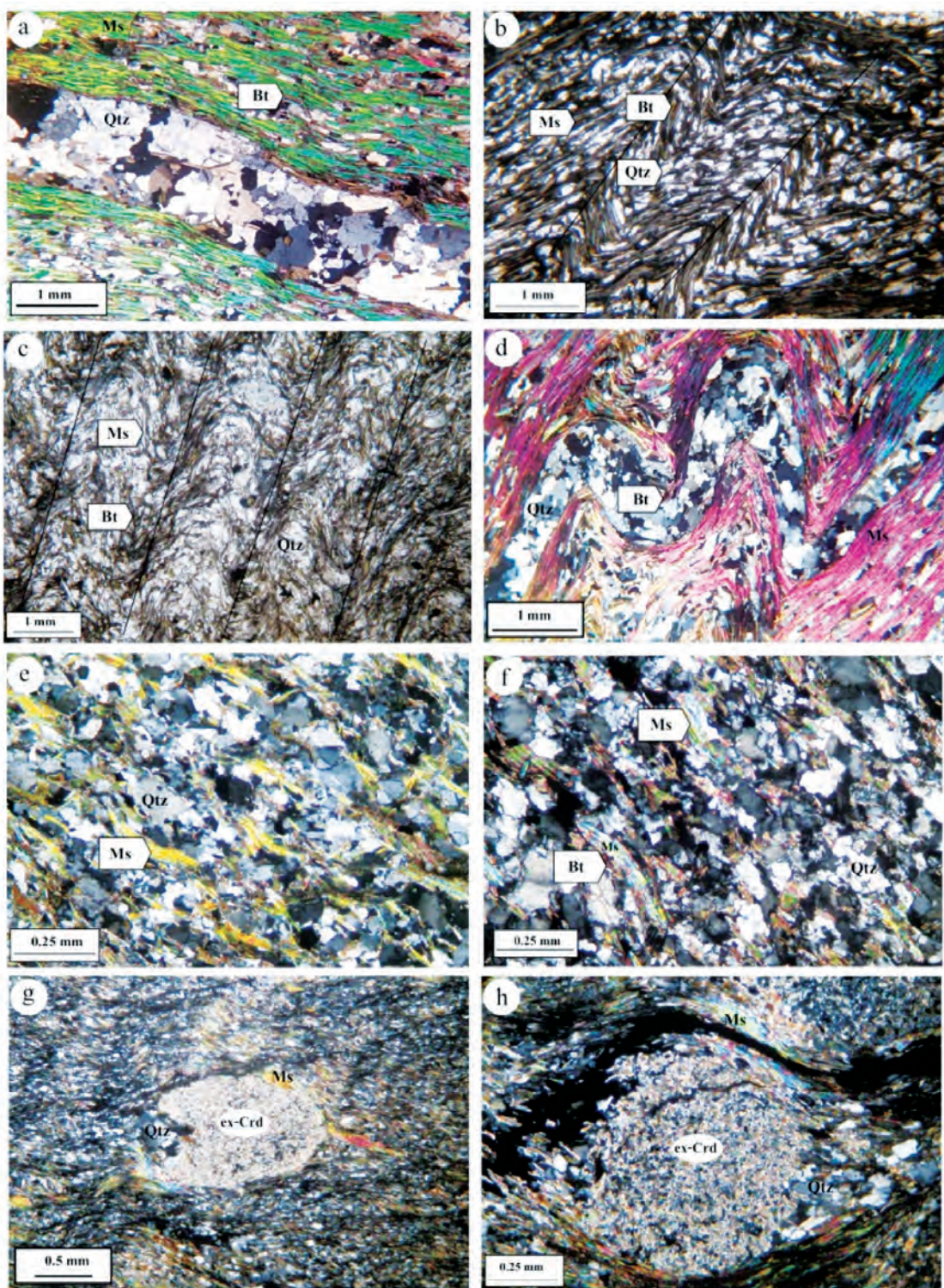
شواهد پتروگرافی و صحرایی حاکی از رخداد دگرگونی مجاورتی تأخیری بر روی شیست‌های منطقه می‌باشد. از جمله شواهد صحرایی می‌توان به نفوذ توده‌های گرانیت‌وئیدی جوان به داخل شیست‌ها و همین‌طور رخداد پدیده اسکارانی شدن در منطقه اشاره کرد. برخی از کردبریت‌ها پیونی و بیوتیت‌ها فیبرولیتی شده‌اند (شکل ۴-c). علی‌رغم اینکه حرارت آزاد شده از توده‌های نفوذی منجر به تراکم بافتی در این سنگ‌ها شده است ماهیت دگرگونی ناحیه‌ای و جهت‌یافته‌گی ترجیحی میکاها محفوظ مانده است. برخی از میکاها که درشت‌تر نیز می‌باشند از شیستوزیت‌های غالباً سنگ تبعیت نکرده و دارای توزیع تصادفی می‌باشند (شکل ۴-d). این میکاها دارای منشاء دگرگونی ناحیه‌ای نبوده و در طول دگرگونی مجاورتی تشکیل شده‌اند. در برخی از نمونه‌ها، کانی‌های گارنت به میزان کمتر از پنج درصد قابل مشاهده‌اند که هیچ ارتباط بافتی با شیستوزیت‌های سنگ نداشته و میکاها در اطراف آنها همانند پورفیروblast‌های کردبریت انحراف نشان نمی‌دهند (شکل ۴-e). بنابراین این گارنت‌ها نیز محصول دگرگونی حرارتی می‌باشند.

## پتروفابریک

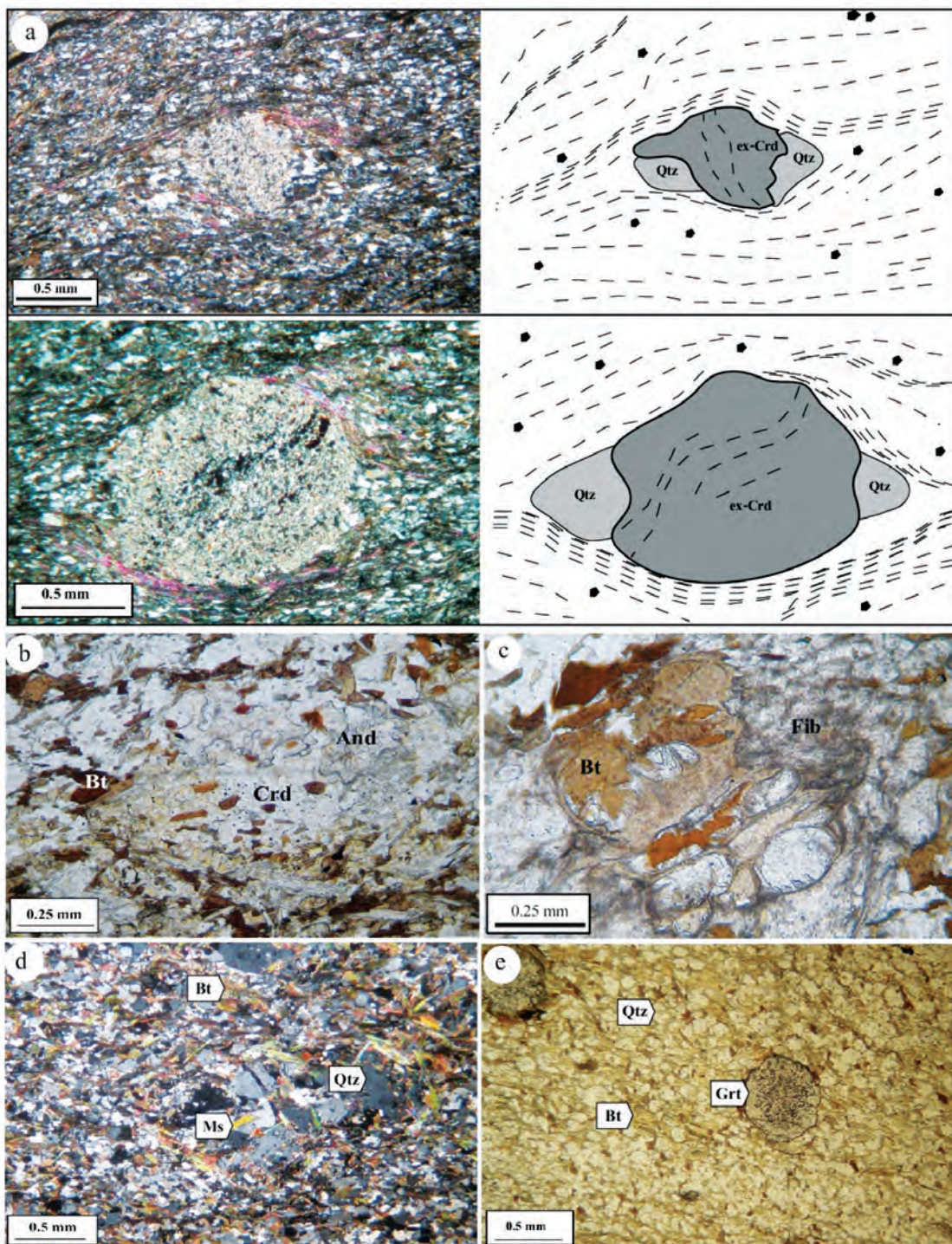
تکامل بافتی سنگ‌های دگرگونی ناحیه‌ای در پاسخ به تنش‌های انحرافی در طول دگرگونی پیشرونده و پسرونده منجر به شکل‌گیری ریزساختارهای دگرگونی می‌شود (Ji et al., 2003; Passchier and Trouw, 2005; Puelles et al., 2018). بازسازی تاریخچه دگرگونی مستلزم ارزیابی دقیق ریزساختارهای است. از این منظر سنگ‌های پلیتی

1. CMP: contact metamorphic phase

2. Mantled porphyroblast



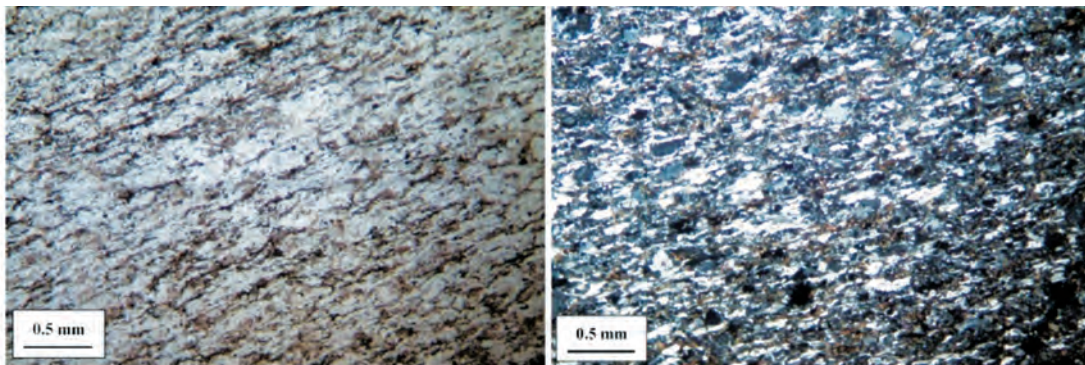
شکل ۳. تصاویر میکروسکوپی شیسته‌های مورد مطالعه، a، b و c) کلیواز کرینولیشن در نتیجه چین خورده‌گی شیستوزیته در نمونه‌های RMP1، RMP1، d، e) خاموشی موجی در کوارتزهای کشیده و طویل، f) نمونه شیستی فاقد کلیواز کرینولیشن با شیستوزیته باز (RMP1)، g و h) نمونه‌های شیستی متعلق به RMP2، کردیریت‌های پینیتی شده با سایه‌ها فشاری نامتقارن. شیستوزیته میکاها کردیریت‌ها را دور زده‌اند (علام اختصاری از Kretz, 1983)



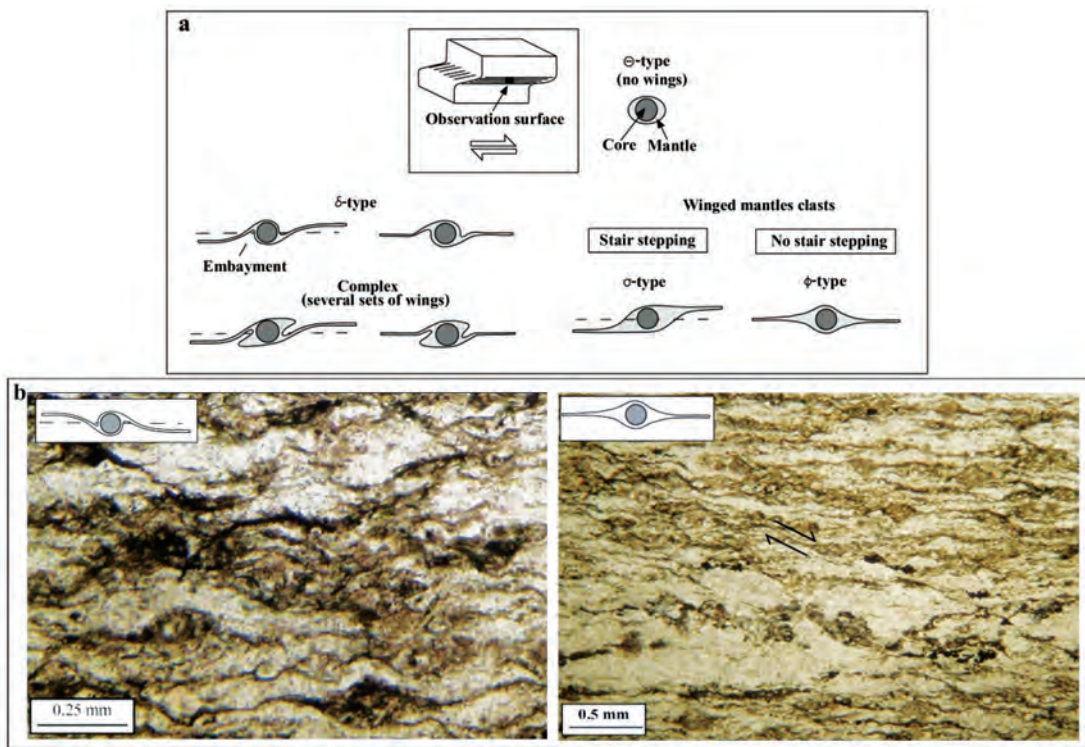
شکل ۴. a) تصاویر میکروسکوپی نمونه‌های RMP2؛ کردهای سایه‌های پینیتی و سایه‌های فشاری نامتقارن قابل مشاهده می‌باشد. روندهای اینکلوزن S شکل بهمراه سایه‌های فشاری نامتقارن حاکی از تشکیل همزمان با تکتونیک پوفیروبلاست‌هاست، b) نمونه یک شیست RMP2 نشانده‌نده کانی‌های آندالوزیت و کردهای پارازنتیک بین آنهاست، c) بیوتیت در نتیجه دگرگونی مجاورتی به فیبرولیت دگرسان شده است، d) نمونه شیستی که دچار دگرگونی مجاورتی شده و کانی‌های مسکویت جدید با جهت یافته‌گی تصادفی در آن تشکیل شده‌اند، e) در طول دگرگونی مجاورتی کانی‌های گارنت تشکیل شده‌اند؛ کانی‌های میکائی در اطراف این کانی‌ها انحراف نشان نمی‌دهند (علام اختصاری از (Kretz, 1983)

دو نوع نوار برشی شناسایی شده‌اند: نوع C و نوع' C' (شکل a-۷). با توجه به جهت یافته‌گی شیستوزیته سنگ نسبت به نوارهای برشی این نوارها در سنگ‌های منطقه مورد مطالعه از نوع' C' می‌باشند (شکل ۷). (b-۷).

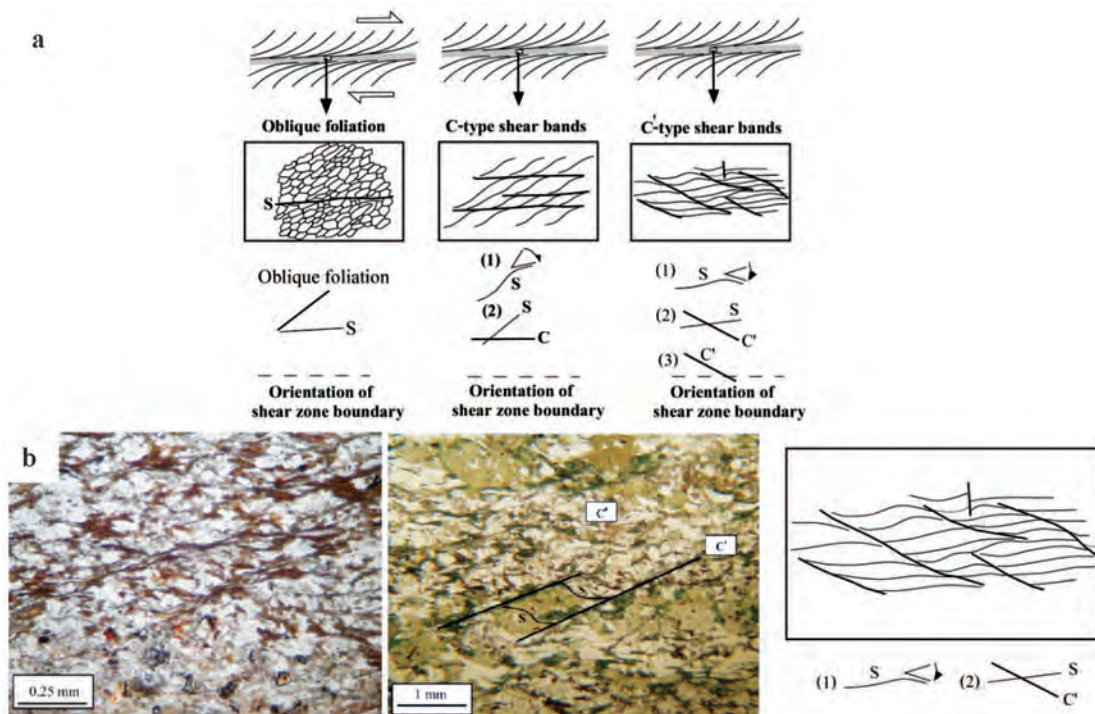
انقطاع شیستوزیته غالباً سنگ توسط یکسری زون برشی فرعی می‌باشد (شکل a-۷). به این ساختارها نوارهای برشی اطلاق می‌شود که مکانیزم تشکیل آنها نیروهای کششی و نه فشارشی می‌باشد (Passchier and Trouw, 2005).



شکل ۵. تصاویر میکروسکوپی میلونیت‌های منطقه گرمی‌چای. با توجه به درصد زمینه سنگ نسبت به پورفیروکلاست‌ها (۸۰-۹۰٪) میلونیت‌ها از نوع مزو‌میلونیت تا الترامیلونیت می‌باشند



شکل ۶. a) تقسیم‌بندی پورفیروکلاست‌های پوششی (با اقتباس از Passchier and Trouw, 2005)، b) پورفیروکلاست‌های پوششی میلونیت‌های منطقه گرمی‌چای از نوع f و d می‌باشند



شکل ۷. انواع نواهای برشی موجود در زون‌های برشی، a) ساختارهای نواهای برشی کششی و نه فشارشی تشکیل می‌شوند، b) با توجه به جهت یافته‌گی فولیاسیون غالب نسبت به زون‌های برشی فرعی، نواهای برشی شیسته‌های منطقه از نوع C می‌باشند

منجر به چرخش برخی از پورفیروبلاست‌ها شده که روندهای S شکل اینکلوزن و سایه‌های فشاری نامتقارن مؤید آن هستند (شکل ۴-a).

#### فاز دوم دگرگشکلی (D<sub>2</sub>)

در برخی از نمونه‌ها فولیاسیون دچار چین خوردگی شده و کلیواژ کرینولیشن شکل گرفته است. این دگرگشکلی دومین فاز دگرگشکلی بوده (S<sub>2</sub>) و بیشتر در نمونه‌های فاقد پورفیروبلاست (شکل ۳-b و c) و غنی از میکا (RMP1) مشاهده شده است. بنابراین فاز دوم دگرگشکلی فقط منجر به چین خوردن فولیاسیون S<sub>1</sub> و توسعه فولیاسیون S<sub>2</sub> در جهت صفحه محوری چین‌ها شده است. فولیاسیون S<sub>1</sub> در شیسته‌های RMP2 پورفیروبلاست‌ها را دور زده‌اند. به علاوه روندهای اینکلوزن S شکل در داخل این پورفیروبلاست‌ها به همراه سایه‌های فشاری نامتقارن (APS) حاکی از چرخش آنها در طول دگرگشکلی می‌باشد (شکل ۴-a).

مجموعه این شواهد نشان دهنده رشد هم‌زمان با تکتونیک پورفیروبلاست‌های کردیریت در شیسته‌های منطقه

#### دگرگشکلی و دگرگونی

بر اساس شواهد پتروگرافی دو فاز اصلی دگرگشکلی شناسایی شده‌اند. از آنجایی که فرآیندهای دگرگشکلی بعدی فولیاسیون‌های قبلی را از بین می‌برند شناسایی اولین فولیاسیون در عمل غیر ممکن می‌باشد. بنابراین اولین فولیاسیون قابل تشخیص S<sub>n</sub> نامیده شده و باقی فولیاسیون‌ها به ترتیب بر این عدد افزوده می‌شوند (S<sub>n+1</sub>, S<sub>n+2</sub>, ..., S<sub>n+3</sub>). همچنان S<sub>0</sub> فولیاسیون اولیه یا رسوبی را تعریف می‌کند.

#### فاز اول دگرگشکلی (D<sub>1</sub>)

شیسته‌های منطقه گرمی‌چای از نظر فازهای دگرگشکلی به دو دسته تقسیم می‌شوند. دسته اول فقط یک فاز دگرگشکلی نشان می‌دهند. در این دسته فولیاسیون توسط جهت یافته‌گی ترجیحی کانی‌های بیوتیت و مسکویت مشخص می‌شود (S<sub>1</sub>). این فولیاسیون اولین فاز دگرگشکلی را تعریف می‌کند (D<sub>1</sub>) و به دلیل نبود ساختارهای رسوبی قابل تشخیص، عدم تقارن در فولیاسیون و تنوع در اندازه دانه‌ها دارای ماهیت ثانویه می‌باشد. به علاوه این فولیاسیون

هستند. اکسیدهای  $\text{MnO}$ ,  $\text{CaO}$ ,  $\text{P}_2\text{O}_5$  دارای مقادیر به نسبت پایینی هستند (جدول ۱). این مقادیر مشابه مقادیر PAAS می‌باشند (جدول ۱). نمودار تغییرات عناصر اصلی در مقابل  $\text{SiO}_2$  به منظور بررسی تغییرات اکسیدهای اصلی در شیسته‌های منطقه گرمی‌چای مورد استفاده قرار گرفته است. روند تغییرات در این دیاگرام‌ها حاکی از همبستگی منفی اکسیدهای  $\text{Al}_2\text{O}_3$ ,  $\text{MgO}$ ,  $\text{Fe}_2\text{O}_3$  و بمقدار کمتر  $\text{K}_2\text{O}$  باشد (شکل ۸). این روند در شیسته‌ها می‌تواند ناشی از فراوانی متفاوت کانی‌های کریدیت و میکاها باشد. به طوریکه فراوانی بالای این کانی‌ها منجر به فراوانی زیاد اکسیدهای  $\text{Al}_2\text{O}_3$ ,  $\text{MgO}$ ,  $\text{Fe}_2\text{O}_3$  در سنگ شده و در مقابل میزان  $\text{SiO}_2$  کمتر خواهد بود. در مقابل، همبستگی معناداری بین  $\text{TiO}_2$  و  $\text{Na}_2\text{O}$  با  $\text{SiO}_2$  مشاهده نمی‌شود (شکل ۸) که می‌تواند ناشی فرآیندهای هوازدگی و یا دگرسانی کانی‌های فلذی‌سپار باشد.<sup>۱</sup>

گرمی‌چای می‌باشد. برخی از شیسته‌ها متحمل فرآیندهای بعدی دگرگونی حرارتی شده‌اند که در نتیجه آن کانی‌های نئوفورم مسکویت با جهت یافته‌گی تصادفی تشکیل شده‌اند (شکل ۴).

## ژئوشیمی

عناصر اصلی: ترکیب شیمی عناصر اصلی، جزئی و نادر حاکی برای متاپلیت‌های منطقه گرمی‌چای در جدول ۲ نشان داده شده است. نتایج حاصله حاکی از تنوع هرچند محدود در فراوانی عناصر می‌باشد که می‌تواند ناشی از ترکیب ناهمگن سنگ منشاء باشد (جدول ۲). متاپلیت‌های گرمی‌چای از منظر عناصر  $\text{SiO}_2$  ( $73/57-59/71$  درصد)،  $\text{Al}_2\text{O}_3$  ( $19/75-11/71$  درصد)،  $\text{FeO}^T$  ( $8/01-2/87$ ) درصد،  $\text{TiO}_2$  ( $3/07-1/13$ ) درصد و  $\text{MgO}$  ( $0/89-0/31$ ) درصد را دارند.  $\text{Na}_2\text{O}$  و  $\text{K}_2\text{O}$  به ترتیب از  $1/91$  تا  $5/66$  درصد و  $0/62$  تا  $4/35$  درصد در تغییر

جدول ۲. نتایج آنالیز شیمی سنگ کل عناصر اصلی و جزئی متاپلیت‌ها مقادیر UCC و PAAS به منظور مقایسه آورده شده‌اند

واحد درصد	Garmichay schists									
	۱۶ GS .۱	۱۶ GS .۲	۱۶ GS .۳	۱۶ GS .۴	۱۶ GS .۵	۱۶ GS .۶	۱۶ GS .۷	۱۶ GS .۸	۱۶ GS .۹	
$\text{SiO}_2$	۶۰/۰۶	۶۱/۳۷	۷۰/۳۸	۷۱/۱۹	۶۰/۸۸	۶۲/۵۰	۶۱/۳۷	۷۳/۵۷	۶۲/۹۲	
$\text{TiO}_2$	۰/۷۸	۰/۸۸	۰/۶۴	۰/۶۷	۰/۸۵	۰/۸۸	۰/۸۰	۰/۳۱	۰/۸۹	
$\text{Al}_2\text{O}_3$	۱۸/۸۵	۱۷/۹۴	۱۲/۱۷	۱۳/۱۶	۱۸/۱۳	۱۹/۴۷	۱۹/۷۵	۱۱/۷۱	۱۸/۱۱	
$\text{Fe}_2\text{O}_3$	۰/۸۱	۰/۶۵	۰/۵۳	۰/۳۹	۰/۶۴	۰/۷۲	۰/۷	۰/۲۷	۰/۸۴	
$\text{FeO}$	۷/۲	۵/۹۰	۴/۹۰	۳/۹۰	۵/۸	۶/۵	۶/۷	۲/۶۰	۵/۷	
$\text{MnO}$	۰/۰۴	۰/۰۳	۰/۰۳	۰/۰۴	۰/۰۹	۰/۰۸	۰/۰۹	۰/۰۱	۰/۰۶	
$\text{MgO}$	۲/۶۵	۲/۶۹	۱/۸۶	۲/۰۹	۲/۷۵	۲/۹۲	۳/۰۷	۱/۱۳	۲/۸۰	
$\text{CaO}$	۰/۵۲	۰/۴۵	۰/۶۲	۱/۰۸	۰/۹۸	۰/۶۷	۰/۷۴	۰/۲۵	۰/۶۳	
$\text{Na}_2\text{O}$	۲/۳۰	۰/۶۲	۲/۱۷	۳/۲۳	۲/۵۹	۲/۰۵	۲/۰۳	۲/۶۲	۲/۷۷	
$\text{K}_2\text{O}$	۵/۶۶	۴/۹۴	۱/۹۱	۲/۳۱	۳/۴۲	۴/۰۴	۴/۰۷	۳/۳۲	۳/۷۶	
$\text{P}_2\text{O}_5$	۰/۱۲	۰/۲۰	۰/۱۷	۰/۱۴	۰/۱۸	۰/۱۹	۰/۱۷	۰/۰۸	۰/۱۶	
$\text{BaO}$	۰/۰۷	۰/۱۰	۰/۰۶	۰/۱۲	۰/۰۸	۰/۱۰	۰/۰۹	۰/۰۸	۰/۰۵	
$\text{SrO}$	۰/۰۲	۰/۰۱۷	۰/۰۲	۰/۰۴	۰/۰۲	۰/۰۲	۰/۰۲	۰/۰۲	۰/۰۲	
LOI	۲/۷۳	۳/۶۶	۱/۶۸	۱/۳۴	۲/۳۴	۱/۷۸	۲/۱۱	۱/۲۵	۲/۳۹	
Total	۱۰/۱۸۴	۹۹/۴۵	۹۸/۱۶	۹۹/۷۱	۹۸/۷۶	۱۰/۱۹۴	۱۰/۱۷۲	۹۷/۲۲	۱۰/۰۹۱	
Trace elements (in ppm)										
Co	۱۴/۱	۱۳/۷	۸/۶	۹/۶	۱۶/۷	۱۴/۵	۱۴/۳	۵/۴	۱۴/۷	
Ni	۳۴/۲	۳۸/۸	۳۲/۷	۲۴/۳	۴۴/۹	۴۶/۳	۴۹/۶	۱۵/۳	۴۱/۳	
Sc	۱۶/۳	۱۷/۰	۸/۳	۹/۷	۱۷/۲	۱۷/۶	۱۸/۵	۵/۰	۱۵/۹	
V	۱۳۶	۱۳۸	۷۴	۷۷	۱۲۹	۱۳۲	۱۳۲	۴۰	۱۱۸	
Ba	۶۴۳/۵	۸۳۸/۸	۵۱۲/۰	۱۰۶۸	۷۲۶/۸	۸۴۸/۴	۷۹۱/۵	۶۷۳/۹	۴۶۲/۲	
Rb	۱۷۸/۲	۱۸۰/۳	۸۸/۰	۸۷/۶	۱۳۵/۲	۱۵۴/۹	۱۴۹/۳	۸۲/۸	۱۴۱/۲	
Sr	۱۵۰/۲	۶۴/۵	۱۸۸/۵	۲۲۶/۳	۱۴۴/۲	۱۳۴/۴	۱۳۵/۹	۱۲۱/۵	۱۳۷/۱	
Zr	۲۱۹	۱۶۵	۳۵۴	۲۷۴	۱۸۰	۱۷۶	۱۶۶	۱۲۵	۲۱۹	

1. Post Archean Australian Shale

## ادامه جدول ۲.

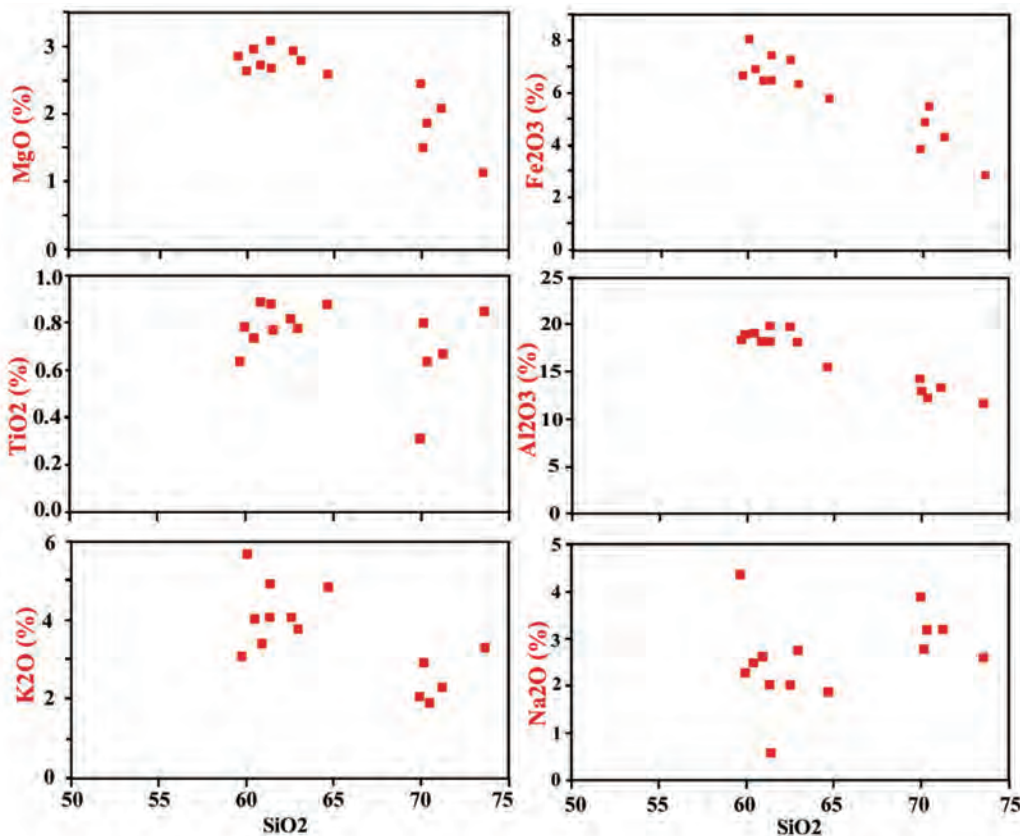
Trace elements (in ppm)										
Hf	۵/۷	۴/۵	۸/۸	۷/۶۰	۵/۵	۵/۳	۴/۷	۳/۶	۶/۳	
Nb	۱۳/۸	۱۴/۶	۱۰/۵	۱۰/۰	۱۴/۰	۱۳/۹	۱۲/۶	۵/۵	۱۳/۹	
Ga	۲۵/۹	۲۴/۸	۱۵/۷	۱۶/۱	۲۶/۱	۲۷/۳	۲۷/۱	۱۳/۹	۲۳/۹	
Th	۱۵/۲۶	۱۳/۷۴	۱۶/۱۹	۱۱/۲۵	۱۱/۲۲	۱۱/۹۰	۱۲/۳۷	۶/۱۰	۱۲/۶۴	
Sn	۹	۹	۷	۶	۸	۷	۷	۵>	۶	
Cs	۶/۷۹	۴۶/۷۸	۱۲/۹۵	۵/۶۷	۸/۸۶	۹/۱۶	۷/۹۸	۲/۷۲	۸/۰۱	
W	۴	۵	۳	۴	۱>	۱	۲	۱	۱>	
Ta	۱/۱	۱/۱	۰/۹	۰/۸	۱/۱	۱/۱	۱/۰	۰/۶	۱/۱	
U	۳/۹۸	۳/۵۳	۲/۱۳	۳/۱۳	۳/۷۹	۳/۷۸	۳/۴۲	۱/۸۴	۳/۷۲	
Y	۳۲/۳	۲۸/۹	۳۰/۰	۲۶/۲	۲۲/۳	۳۶/۰	۳۰/۸	۱۷	۳۱/۳	
Cr	۱۰/۹	۱۰/۸	۷/۴	۷/۶	۱۰/۶	۱۱/۲	۱۰/۴	۳/۸	۱۰/۳	
Tc	۰/۰۴	۰/۰۲	۰/۰۳	۰/۰۲	۰/۰۶	۰/۰۱	۰/۰۲	<۰/۰۱	۰/۰۴	
Ts	<۰/۰۱	<۰/۰۱	<۰/۰۱	<۰/۰۱	<۰/۰۱	<۰/۰۱	<۰/۰۱	<۰/۰۱	<۰/۰۱	
REE (in ppm)										
La	۳۶/۲	۳۹/۱	۳۵/۰	۳۳/۷	۴۴/۳	۴۳/۲	۳۸/۲	۲۲/۰	۴۰/۴	
Ce	۷۲/۰	۷۹/۲	۷۷/۲	۷۲/۶	۹۱/۰	۸۹/۱	۷۸/۲	۴۸/۵	۸۵/۶	
Pr	۸/۰۳	۹/۲۱	۸/۷۱	۷/۹۳	۱۰/۴۱	۱۱/۳۶	۹/۱۴	۴/۸۷	۹/۷۸	
Nd	۳۳/۸	۳۶/۳	۳۳/۵	۲۹/۵	۴۰/۰	۴۰/۳	۳۶/۴	۱۸/۴	۳۷/۴	
Sm	۶/۶۶	۷/۴۶	۶/۶۸	۵/۵۹	۷/۶۲	۷/۸۰	۶/۸۶	۳/۵۹	۷/۵۱	
Eu	۱/۳۷	۱/۵۲	۱/۲۹	۲/۱۵	۱/۷۹	۱/۷۰	۱/۲۶	۰/۹۸	۱/۶۶	
Gd	۶/۲۰	۶/۶۴	۶/۲۲	۵/۲۱	۷/۴۵	۶/۹۶	۶/۱۷	۲/۲۹	۶/۷۹	
Tb	۰/۱۹	۰/۹۴	۰/۹	۰/۷۶	۰/۹۶	۱/۰۷	۰/۹۲	۰/۴۸	۰/۹۷	
Dy	۰/۶۵	۰/۳۹	۰/۴۱	۴/۷۰	۵/۸۴	۶/۴۸	۵/۴۶	۳/۰۳	۵/۷۳	
Ho	۱/۱۶	۱/۱۰	۱/۰۸	۰/۹۵	۱/۱۵	۱/۳۰	۱/۱۰	۰/۶۱	۱/۱۵	
Er	۳/۴۶	۳/۱۵	۲/۹۵	۲/۶۷	۳/۳۵	۳/۶۳	۳/۰۴	۱/۷۳	۳/۲۴	
Tm	۰/۴۶	۰/۴۲	۰/۴۴	۰/۴۴	۰/۵۱	۰/۵۵	۰/۴۶	۰/۲۵	۰/۴۹	
Yb	۳/۲۷	۳/۰۳	۲/۸۵	۲/۰۵	۳/۳۳	۳/۴۵	۳/۰۶	۱/۵۸	۳/۲۱	
Lu	۰/۵۱	۰/۴۴	۰/۴۵	۰/۳۹	۰/۵۱	۰/۵۳	۰/۴۷	۰/۲۶	۰/۴۸	
Eu/Eu*	۰/۶۵	۰/۶۶	۰/۶۱	۱/۲۲	۰/۷۳	۰/۷۱	۰/۵۹	۰/۸۷	۰/۷۱	
Gd <sub>N</sub> /Yb <sub>N</sub>	۱/۵	۱/۸	۱/۸	۱/۶	۱/۸	۱/۶	۱/۶	۱/۷	۱/۷	
La <sub>N</sub> /Sm <sub>N</sub>	۳/۴	۳/۲	۳/۳	۳/۸	۳/۷	۳/۵	۳/۵	۳/۹	۳/۴	
Th/U	۳/۸۳	۳/۸۹	۵/۱۷	۳/۵۹	۲/۹۶	۲/۱۵	۲/۶۲	۳/۷۲	۲/۴۰	
ΣREE	۱۷۹/۹۶	۱۹۳/۹	۱۸۲/۶۸	۱۶۹/۱۴	۲۱۸/۷۲	۲۱۶/۴۳	۱۸۸/۷۴	۱۰۹/۵۷	۲۰۴/۴۱	
Garmichay schists										
واحد درصد	۱۶ GS ۱-	۱۶ GS ۱۱	۱۶ GS ۱۲	۱۶ GS ۱۳	۱۶ GS ۱۴	PAAS	UCC			
SiO <sub>2</sub>	۶۰/۴۷	۵۹/۷۱	۶۴/۶۴	۷۰/۱۲	۶۹/۹۲	۶۲/۸۰	۶۶/۰۰			
TiO <sub>2</sub>	۰/۱۲	۰/۷۷	۰/۷۸	۰/۷۴	۰/۶۴	۱/۰۰	۰/۵۰			
Al <sub>2</sub> O <sub>3</sub>	۱۸/۹۸	۱۸/۳۳	۱۵/۶۰	۱۲/۸۱	۱۴/۰۶	۱۸/۹۰	۱۵/۲۰			
Fe <sub>2</sub> O <sub>3</sub>	۰/۷	۰/۶۷	۰/۰۶	۰/۴۹	۰/۳۸	۷/۲۲	۵/۰۰			
FeO	۶/۲	۵/۹۹	۵/۲	۴/۳۹	۳/۴۴	—	—			
MnO	۰/۰۸	۰/۱۲	۰/۰۳	۰/۰۳	۰/۰۷	۰/۱۱	۰/۰۸			
MgO	۲/۹۵	۲/۸۷	۲/۰۹	۱/۴۹	۲/۴۵	۲/۲۰	۲/۲۰			
CaO	۱/۱۳	۲/۴۶	۰/۰۶	۰/۰۷	۰/۹۸	۱/۳۰	۴/۲۰			
Na <sub>2</sub> O	۲/۴۸	۴/۳۵	۱/۸۸	۲/۷۹	۳/۹۰	۱/۲۰	۳/۹۰			
K <sub>2</sub> O	۴/۰۳	۳/۰۹	۴/۸۳	۲/۹۳	۲/۰۴	۳/۷۰	۳/۴۰			
P <sub>2</sub> O <sub>5</sub>	۰/۱۶	۰/۱۹	۰/۲۰	۰/۲۰	۰/۱۸	۰/۱۶	—			
BaO	۰/۰۹	۰/۰۵	۰/۰۶	۰/۰۷	۰/۰۴	—	—			
SrO	۰/۰۲	۰/۰۳	۰/۰۱	۰/۰۱	۰/۰۲	—	—			
LOI	۲/۹۰	۱/۱۰	۱/۸۸	۱/۴۹	۱/۶۵	۶/۰۰	—			
Total	۱۰/۰۴	۹۹/۷۳	۹۸/۸۳	۹۸/۱۴	۹۹/۷۶	۱۰/۴۸	۹۹/۷۸			

## ادامه جدول .۲

	Trace elements (in ppm)							
Co	۱۸	۱۶/۴	۱۱/۵	۸/۴	۶/۹	۲۳/۰	—	—
Ni	۴۶/۷	۴/۶	۳۶/۱	۲۲/۲	۲۳/۴	۵۵/۰	۲۰/۰	—
Sc	۱۷/۶	۱۶/۶	۱۴/۱	۹/۲	۸/۹	۱۶/۰	۱۰/۰	—
V	۱۳۴	۱۳۱	۱۰۲	۷۸	۷۷	۱۵۰	۶۰	—
Ba	۷۴۷/۷	۴۵۸/۵	۵۷۴/۳	۶۳۷/۳	۳۳۰/۳	۶۵۰/۰	۷۰۰	—
Rb	۱۵۶/۷	۱۴۴/۳	۱۴۳/۲	۷۷/۴	۶۶/۵	۱۶/۰	۱۱۰	—
Sr	۱۸۳/۸	۲۲۰/۳	۷۸/۴	۱۱۴/۷	۱۹۸/۵	۲۰۰/۰	۳۵۰	—
Zr	۱۷۹	۱۷۴	۲۲۶	۳۸۷	۲۴۵	۲۱۰/۰	۲۴۰/۰	—
Hf	۵/۲	۴/۹	۶/۶	۱۰/۸	۶/۸	۵/۰	۵/۸	—
Nb	۱۴/۱	۱۳/۵	۱۶/۶	۱۲/۰	۱/۰	۱۹/۰	۲۵/۰	—
Ga	۲۸/۱	۲۶/۸	۲۲/۷	۱۵/۹	۱۹/۰	—	—	—
Th	۱۱/۸۲	۱۲/۲۸	۱۶/۸۸	۱۳/۳۶	۱۰/۸۰	۱۴/۶۰	۱۰/۵۰	—
Sn	۷	۶	۶	۵	۵	—	—	—
Cs	۷/۷۴	۹/۱۱	۵/۵۶	۲/۶۳	۳/۹۴	۱۵	۴	—
W	۲	>۱	۴	۱	۲	—	—	—
Ta	۱/۲	۱/۱	۱/۲	۱/۰	۰/۹	۱۴/۶	—	—
U	۳/۱۹	۳/۵۲	۴/۱۳	۳/۱۳	۲/۹۰	۳/۱۰	۲/۵۰	—
Y	۳۴/۱	۳۲/۸	۳۱/۱	۳۲/۹	۲۴/۶	۲۷/۰	۲۲/۰	—
Cr	۱۰۴	۱۰۵	۸۹	۷۸	۷۱	۱۱۰/۰	۳۵	—
Tc	۰/۱	۰/۰۲	۰/۰۳	<۰/۰۱	<۰/۰۱	—	—	—
Ts	<۰/۰۱	<۰/۰۱	<۰/۰۱	<۰/۰۱	<۰/۰۱	—	—	—
	REE ppm							
La	۵۵/۱	۳۲/۵	۴۱/۱	۳۸/۰	۳۶/۳	۳۸/۰	۳۰/۰	—
Ce	۱۰۴/۹	۶۷/۷	۸۸/۹	۸۵/۲	۷۹/۵	۸۰/۰	۶۴/۰	—
Pr	۱۲/۱۳	۸/۰۰	۱۰/۰۵	۹/۵۶	۸/۸۵	۸/۸۳	۷/۱۰	—
Nd	۴۵/۲	۳۰/۳	۴۰/۳	۳۷/۰	۳۴/۰	۳۲/۰	۲۶/۰	—
Sm	۹/۳۲	۶/۰۸	۸/۱۸	۷/۶۴	۶/۲۶	۵/۶۰	۴/۵۰	—
Eu	۲/۳۷	۱/۷۹	۱/۵۷	۱/۰۹	۱/۴۱	۱/۱۰	۰/۱۱	—
Gd	۸/۴۸	۵/۸	۷/۰۸	۶/۶۱	۵/۸۵	۴/۷۰	۳/۸۰	—
Tb	۱/۲۱	۰/۱۹	۰/۹۰	۰/۹۱	۰/۷۶	۰/۷۷	۰/۶۴	—
Dy	۶/۶۰	۵/۹۲	۵/۸۶	۵/۸۳	۴/۵۹	۴/۴۰	۳/۵۰	—
Ho	۱/۲۳	۱/۲۰	۱/۱۳	۱/۱۷	۰/۸۷	۱/۰۰	۰/۸۰	—
Er	۳/۴۴	۳/۴۱	۳/۲۴	۳/۴۰	۲/۶۵	۲/۹۰	۲/۳۰	—
Tm	۰/۵۲	۰/۴۹	۰/۴۶	۰/۴۸	۰/۳۹	۰/۴۱	۰/۳۳	—
Yb	۳/۱۱	۳/۱۲	۳/۱۴	۳/۲۴	۲/۶۰	۲/۸۰	۲/۲۰	—
Lu	۰/۵۱	۰/۴۸	۰/۴۵	۰/۵۰	۰/۳۷	۰/۴۰	۰/۳۲	—
Eu/Eu*	۰/۸۱	۰/۹۲	۰/۶۳	۰/۶۸	۰/۷۱	۰/۶۷	۰/۶۵	—
Gd <sub>N</sub> /Yb <sub>N</sub>	۲/۲	۱/۵	۱/۸	۱/۶	۱/۸	۱/۴	۱/۴	—
La <sub>N</sub> /Sm <sub>N</sub>	۳/۷	۳/۴	۳/۲	۳/۱	۳/۶	۴/۳	۴/۲	—
Th/U	۳/۲۹	۳/۴۵	۴/۱۰	۴/۲۷	۳/۶۶	۴/۷۱	۴/۲۰	—
ΣREE	۲۵۴/۱۲	۱۶۷/۶۸	۲۱۲/۳۶	۲۰۱/۱۳	۱۸۴/۴	۱۸۲/۹۱	۱۴۶/۳۷	—

عناصر جزئی: عناصر جزئی در متالپلیت‌های گرمی‌چای می‌شود (Mason and Moore, 1982). به علاوه Cs تمايل به تمرکز در سنگ‌های فلسيك و پگماتيتی دارد (Puchet, 1972). بنابراین سنگ منشاء حد واسط برای اين سنگ‌ها محتمل بوده است. در پيوند با عناصر HFSE (مانند Y, U, Zr و Th) مقادير بسیار مشابه PAAS می‌باشند (جدول ۲). رفتار هوازدگی U و Th متفاوت است. در شرایط اكسيدی، U<sup>6+</sup> که تحرك بیشتری دارد تشکیل شده و واسط

دارای فراوانی متغیری هستند که شاید ناشی از ترخ‌های متفاوت تحرك آنها در طول دگرسانی سنگ مادر و یا دگرگونی بوده است. میزان Ba در این سنگ‌ها مشابه PAAS می‌باشد در حالی که Cs, Rb, Sr و LILE می‌باشند (LFSE) به نسبت کمتر هستند. Ba در طول تبلور ماقمایی وارد ساختمان کانی‌ها در سنگ‌های آذرین حد واسط



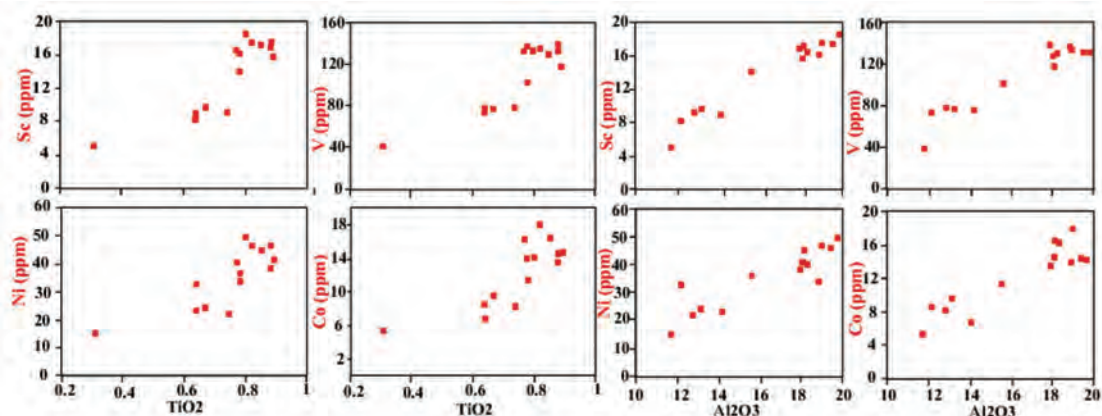
شکل ۸. نمودار تغییرات عناصر اصلی در برابر  $\text{SiO}_2$  برای متاپلیت‌های منطقه گرمی چای.  $\text{MgO}$ ,  $\text{Al}_2\text{O}_3$ ,  $\text{Fe}_2\text{O}_3$  و به مقدار کمتر  $\text{K}_2\text{O}$  دارای همبستگی منفی با  $\text{SiO}_2$  هستند.  $\text{TiO}_2$  و  $\text{Na}_2\text{O}$  دارای تغییرات معناداری نمی‌باشند.

(and McLennan, 1985) بهمنظور مقایسه ترکیب عناصر نادر خاکی سنگ‌های مورد مطالعه در شکل ۱۰ a- b مشاهده می‌شود. همچنین ترکیب عناصر جزئی به UCC به هنجار شده‌اند (شکل ۱۰ c). نمونه‌های مورد مطالعه دارای ناهنجاری منفی Sr, Nb و Ta، ناهنجاری منفی Zr, Hf و Rb و همچنین ناهنجاری مثبت La و Ce می‌باشند. ناهنجاری منفی Nb حاکی از نقش پوسته قاره‌ای و همین طور حوضه‌های پشت قوس در حاشیه فعال قاره می‌باشد (Rollinson, 1993). در طول هوازدگی سیستم را بسرعت ترک و بنابراین ناهنجاری منفی آن توجیه می‌شود (شکل ۱۰). Ba و Rb دارای مقادیر متغیری هستند (جدول ۲ و شکل ۱۰ c) که می‌تواند ناشی از میزان متغیر فلدسپارها و میکاها به عنوان میزان آنها تلقی شود.

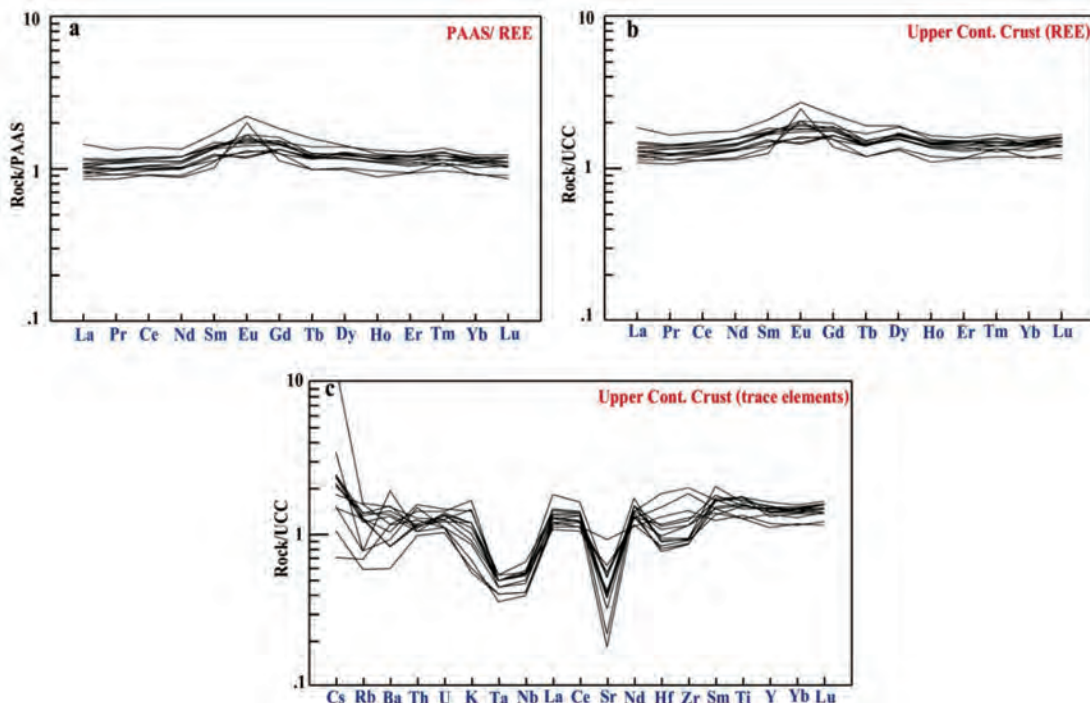
Th/U افزایش می‌یابد. متوسط این نسبت در متاپلیت‌های گرمی چای (۳/۷۲) کمتر از PAAS<sup>1</sup> بوده و مشابه<sup>2</sup> UCC (McLennan and Taylor, 1991) که نشانگر شرایط اکسیداسیون در طول رسوب‌گذاری سنگ مادر رسوی می‌باشد. همچنین غلظت‌های عناصر انتقالی نظیر PAAS Cr, Ni, Co و V اندکی از مقادیر این عناصر در کمتر می‌باشد (جدول ۲). این عناصر بهمراه عناصر دارای همبستگی مثبت با  $\text{Al}_2\text{O}_3$  و  $\text{TiO}_2$  می‌باشد (شکل ۹). عناصر فرومینیزین در حین تبلور و ذوب بخشی رفتار سازگار نشان می‌دهند (Feng and Kerrich, 1990) و بنابراین در سنگ‌های مافیک تمرکز می‌یابند. مقادیر میانگین این عناصر نظیر Co (ppm ۱۲/۵)، Cr (ppm ۹۱/۲)، V (ppm ۱۰/۷) و Ni (ppm ۳۵/۵) اندکی از PAAS کمتر می‌باشند (جدول ۲) که نشان دهنده نقش محدود منشاء‌های مافیک PAAS (Taylor) می‌باشد. مقادیر به هنجار شده UCC و

1. Post Archean Australian Shale

2. Upper Continental Crust



شکل ۹. نمودارهای تغییرات Sc، V، Ni و Co در برابر  $\text{Al}_2\text{O}_3$  و  $\text{TiO}_2$ . تمام عناصر جزئی دارای همبستگی مثبت با اکسیدهای  $\text{Al}_2\text{O}_3$  و  $\text{TiO}_2$ . هستند که حاکی از تجمع این عناصر در فیلوسیلیکات‌ها، کردبریت و اکسیدها می‌باشد



شکل ۱۰. a و b) الگوی عناصر نادر خاکی بهنجار شده به PAAS و UCC برای متاپلیت‌های منطقه گرمی چای، c) الگوهای عناصر جزئی بهنجار شده به UCC (مقادیر بهنجار شدگی از Taylor and McLennan (1985) می‌باشند)

سنگ منشاء متاپلیت‌های گرمی چای and Korsch (1988)

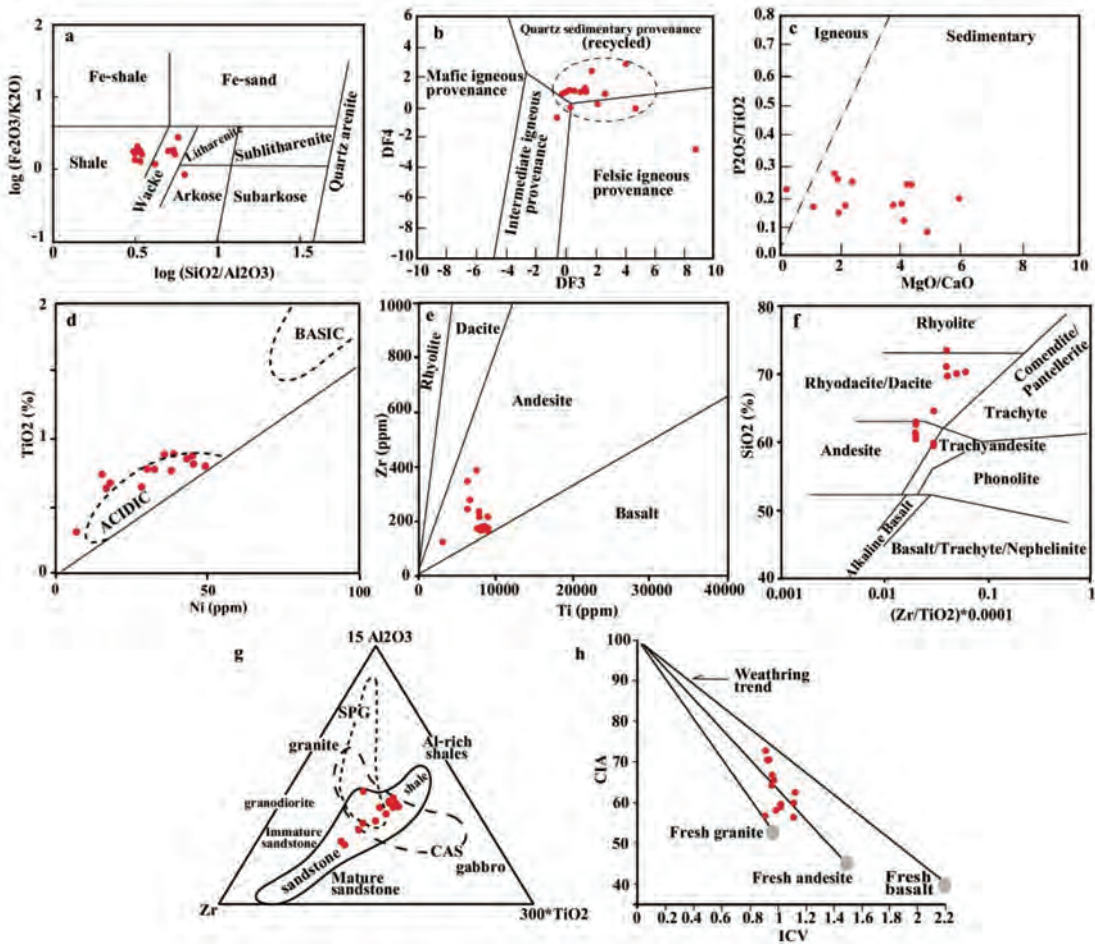
رسوبی تعیین شده است (شکل ۱۱ b-c). با توجه به ماهیت قدیمی متاپلیت‌های گرمی چای (پرکامبرین)، یک چرخه فرسایش و رسوب‌گذاری مجدد دور از انتظار نیست. در نمودار  $\text{TiO}_2$  در برابر  $\text{Ni}$  نمونه‌های مورد مطالعه دارای منشاء اسیدی می‌باشند (شکل ۱۱ d). در نمودارهای  $\text{Zr}$  و  $\text{Ti}$ ، شیستهای گرمی چای در میدان‌های آندزیتی و

سنگ منشاء: سنگ منشاء رسوبی قدیمی را می‌توان با استفاده از عناصر اصلی مورد ارزیابی قرار داد. در نمودار  $\log(\text{SiO}_2/\text{Fe}_2\text{O}_3)/\log(\text{K}_2\text{O})$  در برابر  $\log(\text{Al}_2\text{O}_3)$  (Herron, 1988) نمونه‌های منطقه مورد مطالعه در میدان‌های شیل و گریوکی واقع می‌شوند (شکل ۱۱ a-d). همچنین توسط نمودارهای Werner (1987) و Roser

## بحث

شیل-ماسه سنگ برای نمونه‌های مورد مطالعه بدست آمده است (شکل ۱۱g). همچنین نمودار CIA در مقابل ICV (Potter et al., 2005) نشان دهنده این است که رسوبات کوارتزی دگرگون شده خود از یک منشاء آندزیتی هستند (شکل ۱۱h).

رویداستی/داسیتی قرار می‌گیرند (شکل ۱۱e-f). در بین عناصر جزئی و اصلی Al، Ti و Zr دارای تحرک کمتری هستند. Ti و Zr به طور عمده در داخل کانی‌های مقاومی نظیر زیرکن، روتیل و ایلمنیت حفظ می‌شوند و بنابراین از آنها برای ارزیابی زادگاه رسوبی اولیه استفاده می‌شود. در نمودار Ti در برابر Zr (Garcia et al., 1994) Zr در برابر Ti نمودار



شکل ۱۱. a) نمودار  $\log(\text{Fe}_2\text{O}_3/\text{K}_2\text{O})$  در برابر  $\log(\text{SiO}_2/\text{Al}_2\text{O}_3)$  (Herron, 1988); b) در نمودار DF4 در برابر DF3 در نمودار CIA در برابر ICV (Roser and Korsch, 1988); c) نمودار تفکیک زادگاه رسوبی و آذربین (Werner, 1987); d) نمودار  $\text{TiO}_2$  در مقابل  $\text{Ni}$  (Floyd et al., 1989); e) نمودار  $\text{TiO}_2$  در مقابل  $\text{Zr}$  (Hallberg, 1984); f) نمودار  $\text{SiO}_2$  در مقابل  $(\text{Zr}/\text{TiO}_2)^*0.0001$  (Winchester and Floyd, 1977); g) نمودار مثلثی  $\text{Zr}$ - $15\text{Al}_2\text{O}_3$ - $300^*\text{TiO}_2$  (Garcia et al., 1994); h) نمودار CIA در مقابل ICV (Garcia et al., 1994)؛ متاپلیت‌های گرمی‌چای در میدان شیل و ماسه‌سنگ واقع شده‌اند، (h) نمودار CIA در برابر ICV که نشان‌دهنده روند هوازدگی منشاء آندزیتی برای متاپلیت‌های گرمی‌چای می‌باشد

استفاده کرد (جدول ۳). CIW برای شیل‌های پست‌آرکئن و آرکئن بترتیب ۹۸-۹۰ و ۹۵-۸۰ بوده (Condie, 1993) و برای متاپلیت‌های گرمی‌چای ۶۲ تا ۹۰ می‌باشد (شکل b-۱۲ و جدول ۳) که به طور بخشی با شیل‌های پست‌آرکئن منطبق هستند. هر دو پارامتر CIA و CIW نسبت‌های فلدسپار به رس را بدون تأثیر سنگ منشاء نشان می‌دهند در حالی که اندیس<sup>۴</sup> index of compositional variability (ICV) نشان‌دهنده تأثیر سنگ منشاء از طریق (variability) نشان‌دهنده تأثیر سنگ منشاء از طریق کانی‌های غیررسی و رسوب‌گذاری شده در حاشیه فعال قاره می‌باشد (Long et al., 2008). با اینحال مقادیر پابین اندیس ICV نشان‌گر دگرسانی فلدسپار به کانی‌های رسی غنی از آلومینیوم می‌باشد. ICV در متاپلیت‌های گرمی‌چای بالا بوده و بین ۰/۹۰ و ۰/۱۰ در تغییر می‌باشد (جدول ۳).

**هوازدگی سنگ منشاء:** فراوانی عناصر اصلی؛ از نظر حرک در طول هوازدگی و دیاژنر پیش از دگرگونی مورد ارزیابی قرار می‌گیرند (Boles and Franks, 1979) CIA<sup>۱</sup> و CIW<sup>۲</sup> به منظور ارزیابی درجه هوازدگی اندیس‌های CIA<sup>۱</sup> و CIW<sup>۲</sup> به منظور ارزیابی درجه هوازدگی شیمیابی در ناحیه منشاء مورد استفاده قرار می‌گیرند (Nesbitt and Young, 1984) CIA در جدول ۲ نشان داده شده‌اند. مقادیر این دو پارامتر CIA حاکی از دگرسانی بیشتر فلدسپارها به کانی‌های رسی می‌باشد (Nesbitt and Young, 1984) که برای شیل‌های فانروزوئیک بین ۷۰ و ۷۵ (واحد درجه دگرسانی) می‌باشد. مقادیر CIA برای متاپلیت‌های گرمی‌چای (۷۲/۶-۵۶/۳) حاکی از درجه دگرسانی متوسط می‌باشد (شکل a-۱۲). از آنجایی که دیاژنر ممکن است k بیشتری وارد سیستم کند اندیس CIA شاید نتایج نادرستی بدست می‌دهد CIW<sup>۳</sup> (Fedo et al., 1995). بنابراین می‌توان از اندیس CIW<sup>۳</sup>

جدول ۳. اندیس‌های هوازدگی و دگرسانی و روابط مربوطه برای محاسبه پارامترهای مربوطه بهمراه پارامترهای DF3 و DF4 (درجه دگرسانی)

Sample ID	۱۶GS·۱	۱۶GS·۲	۱۶GS·۳	۱۶GS·۴	۱۶GS·۵	۱۶GS·۶	۱۶GS·۷
CIA <sup>۱</sup>	۶۲/۳	۷۲/۶	۶۰/۰	۵۹/۰	۶۴/۳	۷۰/۴	۷۰/۴
CIW <sup>۲</sup>	۷۸/۶	۹۰/۰	۶۶/۷	۶۵/۰	۷۵/۶	۸۲/۶	۸۲/۶
ICV <sup>۳</sup>	۱/۱	۰/۹۰	۱/۱۰	۱/۰۰	۰/۹۴	۰/۹۱	۰/۹۲
DF <sup>۳</sup>	۲/۶۸	۱/۸	-۰/۵۶	۱/۴۲	۰/۷۸	۰/۰۶	-۰/۱۷
DF <sup>۴</sup>	۰/۸۴	۲/۴۱	-۰/۷۲	۰/۹۷	۱/۷۲	۱/۰۰	۰/۸۴
Sample ID	۱۶GS·۸	۱۶GS·۹	۱۶GS·۱۰	۱۶GS·۱۱	۱۶GS·۱۲	۱۶GS·۱۳	۱۶GS·۱۴
CIA <sup>۱</sup>	۵۶/۷	۶۶/۷	۶۵/۵	۵۶/۳	۶۲/۵	۵۹/۱	۵۸/۳
CIW <sup>۲</sup>	۷۱/۴	۷۸/۳	۷۶/۰	۶۲/۰	۷۸/۹	۶۸/۴	۶۳/۶
ICV <sup>۳</sup>	۰/۹۰	۰/۹۵	۰/۹۶	۱/۱	۱/۱۰	۱/۰۰	۰/۹۸
DF <sup>۳</sup>	۴/۷۹	۰/۹۹	۰/۶۱	۰/۳۲	۴/۱۵	۲/۱۸	۱/۳۵
DF <sup>۴</sup>	-۰/۱۴	۱/۰۰	۱/۰۵	-۰/۰۴	۲/۸۳	۰/۱۹	۱/۲۲

1. CIA=[Al<sub>2</sub>O<sub>3</sub>/Al<sub>2</sub>O<sub>3</sub>+CaO+Na<sub>2</sub>O+K<sub>2</sub>O]×100

2. CIW=[Al<sub>2</sub>O<sub>3</sub>/(Al<sub>2</sub>O<sub>3</sub>+CaO+Na<sub>2</sub>O)]×100

3. ICV=(Fe<sub>2</sub>O<sub>3</sub>tot)+K<sub>2</sub>O+Na<sub>2</sub>O+CaO+MgO+TiO<sub>2</sub>)/Al<sub>2</sub>O<sub>3</sub>

DF3=[30.638 TiO<sub>2</sub>-12.541 Fe<sub>2</sub>O<sub>3</sub>(tot)+7.32 MgO+12.031 Na<sub>2</sub>O+35.402 K<sub>2</sub>O]/Al<sub>2</sub>O<sub>3</sub>-6.382.

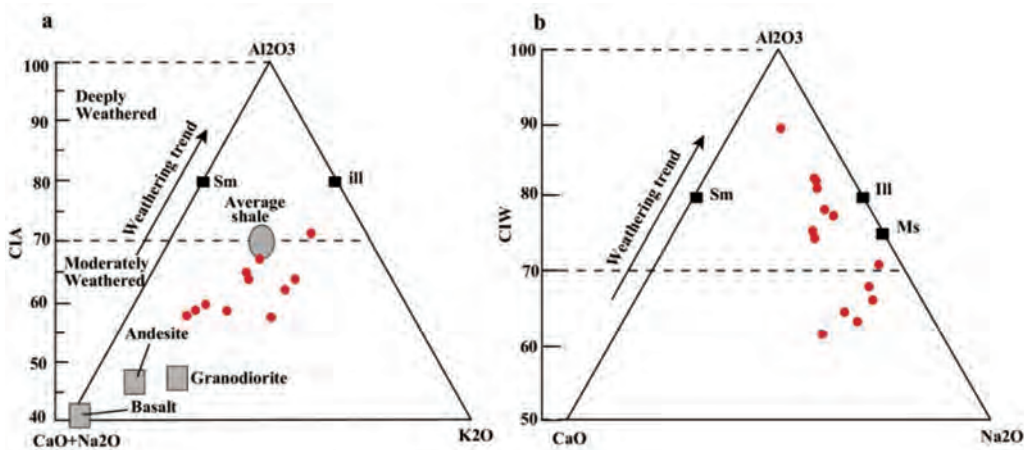
DF4=[56.50 TiO<sub>2</sub>-10.879 Fe<sub>2</sub>O<sub>3</sub>(tot)+30.875 MgO-5.404 Na<sub>2</sub>O+11.112 K<sub>2</sub>O]/Al<sub>2</sub>O<sub>3</sub>-3.89.

1. Chemical Index of Alteration

2. Chemical Index of Weathering

3. Chemical Index of Weathering

4. Index of Compositional Variability

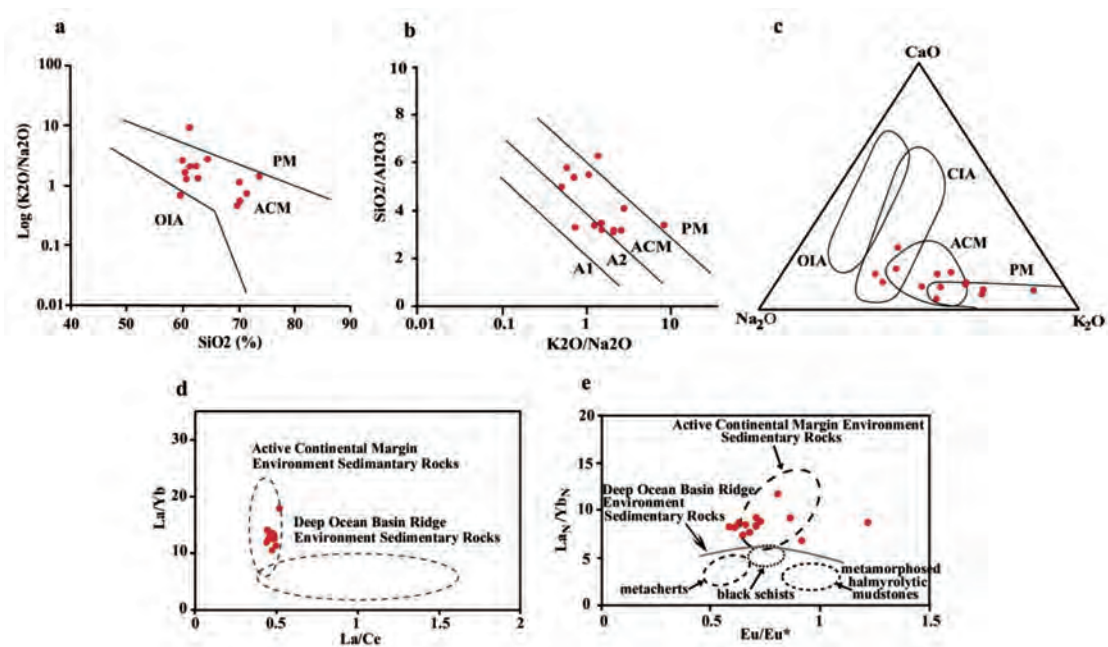


شکل ۱۲. (a) مثلث ACNK از Nesbitt and Young (1984) و Vergara et al. (1995). همان طور که ملاحظه می‌شود نمونه‌های گرمی‌چای توزیع پراکنده‌ای داشته و دارای درجه دگرسانی و هوازدگی متوسط می‌باشند. البته لازم به ذکر است که همان طور که پیش‌تر گفته شد متاپلیت‌ها دارای دو نوع پروتولیت متفاوت غنی از آلومنیوم (شیلی، نزدیک رأس  $\text{Al}_2\text{O}_3$ ) و فقیر از آلومنیوم (پسامیتی، دور از رأس  $\text{Al}_2\text{O}_3$ ) هستند.

شکل گیری حاشیه فعال قاره و ته نشست سنگ‌های پلیتی گرمی‌چای شده است.

**زون‌ها و واکنش‌های دگرگونی**  
واکنش‌های رخ داده در طول دگرگونی توسط نرم‌افزار ترموکالک و روابط پاراژنتیک مجموعه‌های مشاهده شده در بررسی‌های پتروگرافی پیشنهاد شده‌اند (شکل a-۱۴). اولین مجموعه دگرگونی قابل تشخیص در متاپلیت‌های گرمی‌چای شامل آندالوزیت، بیوتیت و مسکویت می‌باشد که زون‌های بیوتیت-مسکویت و آندالوزیت را تعریف می‌کنند. با این حال آندالوزیت در برخی از نمونه‌ها حضور ندارد و فاز رابجی نیست. واکنش شماره ۳ می‌تواند منجر به شکل گیری آندالوزیت شود (شکل a-۱۴). پیروفیلیت موجود در این واکنش می‌تواند توسط واکنش شماره ۱ تشکیل شود (شکل a-۱۴). البته کلریتوئید موجود در سمت محصولات در این سنگ‌ها مشاهده نشده است که می‌تواند ناشی از مصرف این کانی در دماهای بالاتر باشد. زون بیوتیت-مسکویت در نتیجه واکنش شماره ۲ و در شرایط دگرگونی درجه پایین تشکیل شده است (شکل a-۱۴). واکشنگ‌های این واکنش جزء رابج ترین کانی‌های موجود در پلیت‌ها در دماهای پایین می‌باشد (Bucher and Frey, 1994).

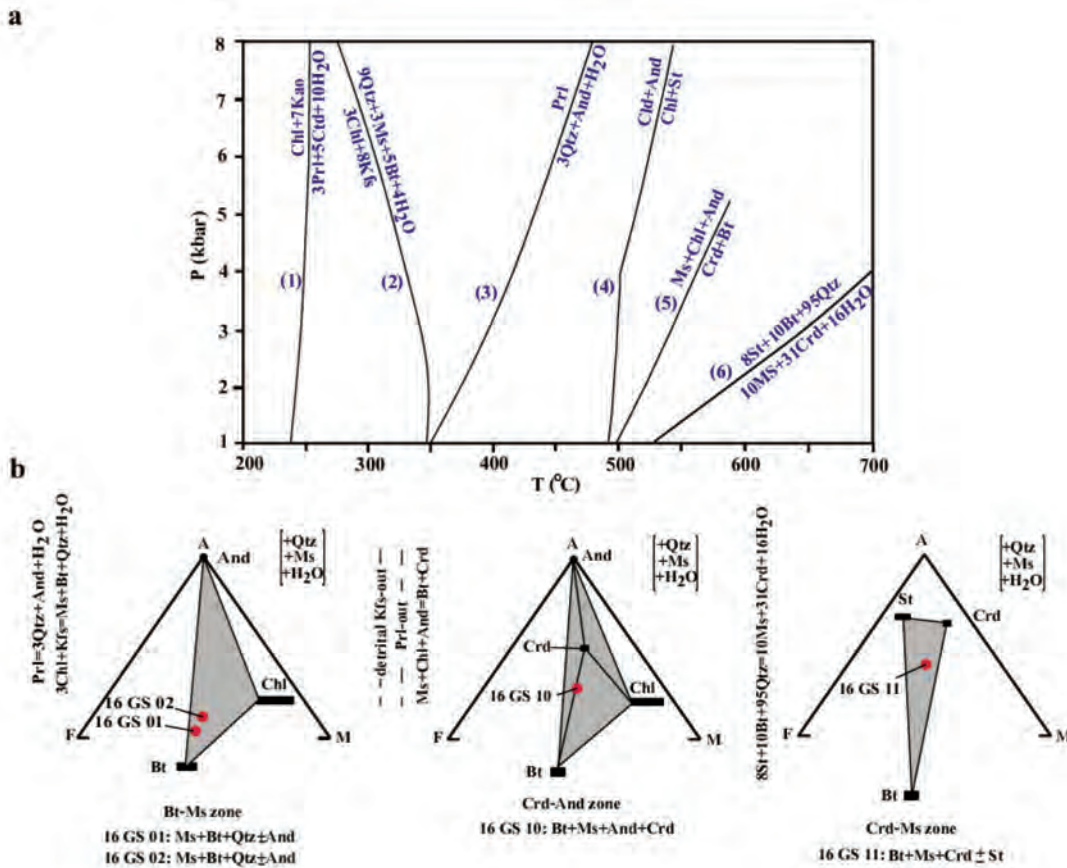
دو پاراژنز به نسبت درجه بالا در متاپلیت‌های گرمی‌چای موقعیت تکتونیکی: موقعیت تکتونیکی سنگ منشا رسوبی با استفاده از عناصر اصلی مورد ارزیابی قرار می‌گیرد. البته عناصری نظیر Ca و Na سیستم را به سرعت ترک می‌کند و لذا باستی احتیاط کرد (Middleburg et al., 1988). در نمودارهای تفکیک عناصر اصلی نمونه‌های گرمی‌چای بیشتر در میدان حاشیه فعال قاره قرار می‌گیرند (شکل a-۱۳، b-۱۳c). برخی از عناصر جزئی و HFSE نقش مهمی در بررسی محیط تکتونیکی و زادگاه رسوبی ایفاء می‌کند (Cullers et al., 1997). Meres (2005) دو تیپ سنگ رسوبی دگرگون شده که در حاشیه فعال قاره (ACMESR) و پشتۀ عمیق اقیانوسی (DOBRESR) رسوب کرده‌اند معرفی کرده است. این دو تیپ سنگی متفاوت به خوبی توسط نسبت‌های La/Yb و La/Ce تفکیک می‌شوند (شکل d-۱۳d). نمونه‌های گرمی‌چای در این نمودار در میدان حاشیه فعال قاره قرار می‌گیرند (شکل d-۱۳d). به علاوه در نمودار  $\text{La}/\text{Yb}$  در  $\text{Eu}^*/\text{Eu}$  متاپلیت‌های گرمی‌چای در میدان حاشیه فعال قاره واقع می‌شوند (شکل e-۱۳e). با توجه به اینکه شیل و گریوک بیشتر در حوضه‌های با فروننشست سریع و حواشی فعال قاره‌ای تشکیل می‌شوند و با در نظر گرفتن سن قدیمی متاپلیت‌های گرمی‌چای (پرکامبرین)، فروزانش یکی از شاخه‌های اقیانوس پروتوتیس در طول کادومین (۶۰۰ تا ۵۴۰ میلیون سال) (Shahzeidi et al., 2016) منجر به



شکل ۱۳. a) نمودار تفکیک تکتونیکی سنگ مادر روسوی (Roser and Korsch, 1986); نمونه‌های مورد مطالعه بیشتر در میدان حاشیه فعال قاره واقع می‌شوند، b) نمودار تفکیک تکتونیکی بر اساس عناصر اصلی (Maynard et al., 1982). نمونه‌ها بیشتر در میدان حاشیه فعال قاره قرار می‌گیرند، c) نمودار تفکیک تکتونیکی از (Toulkeridis 1999) که در آن نمونه‌های مورد مطالعه در میدان حاشیه فعال قاره و حاشیه غیر فعال واقع می‌شوند، d) نمودار La/Yb در برابر La/Ce (Meres, 2005) La/Yb در برابر Eu/Eu\* (Meres, 2005) Eu/Eu\* در برابر LaN/YbN (Meres, 2005) LaN/YbN در برابر

صرف کلریتوئید شود (شکل ۱۴-a). نقش شیمی سنگ کل در پارازنژهای تعادلی: به منظور ارزیابی پارازنژهای تعادلی در متاپلیت‌های گرمی‌چای از دیاگرام‌های سازگاری AFM با مسکویت، آب و کوارتز اضافی استفاده شده است (شکل ۱۴-b). موقعیت نمونه‌ها در این نمودارها از نظر Fe و Mg مشابه می‌باشد (شکل ۱۴-b). البته نمونه‌های با پارازنژهای متفاوت دارای محتوی Al متفاوتی هستند که می‌تواند ناشی از میزان متفاوت آلومینیوم در سنگ مادر روسوی باشد. این مسئله به وضوح در ترکیب شیمی سنگ کل متاپلیت‌ها و ترکیب کانیایی آنها دیده می‌شود (جدول ۲). تمامی چهار نمونه‌ای که در نمودارهای سازگاری تصویر شده‌اند در داخل مثلاً های پارازنژیک واقع می‌شوند که حاکی از شرایط تعادلی پارازنژهای مربوطه می‌باشد. بنابراین، پارازنژهای مشاهده شده در نتیجه شرایط متفاوت دگرگونی و اندکی ترکیب شیمیایی متفاوت تشکیل شده‌اند. با توجه به ترکیب عناصر اصلی مشابه متاپلیت‌های گرمی‌چای با ترکیبات پیشنهادی دانشمندان مختلف

کردیریت‌دار و کردیریت-آنالوزیت‌دار مشاهده شده‌اند. موقعیت منحنی‌های واکنشی و میدان‌های موجود در سودوسکشن‌های استاندارد حاکی از درجه بالاتر بودن مجموعه کردیریت دار می‌باشد (شکل‌های a-۱۴، ۱۵ و ۱۶). زون کردیریت-آنالوزیت در نتیجه واکنش ۵ تشکیل شده است (شکل ۱۴-a). برخی از بافت‌های واکنشی حاکی از صرف آنالوزیت برای تشکیل کردیریت و بیوتیت می‌باشد. همان‌طور که در بالا اشاره شد استارولیت در این سنگ‌ها بسیار کم می‌باشد که می‌تواند ناشی از صرف آن در طول دگرگونی باشد. زون مسکویت-کردیریت اوچ دگرگونی را در متاپلیت‌های گرمی‌چای مشخص می‌کند. واکنش شماره ۶ منجر به شکل‌گیری پارازنژ مربوط به این زون شده است (شکل ۱۴-a). استارولیت در این واکنش به عنوان یک کانی در شیسته‌های گرمی‌چای می‌توان مصرف این کانی در طول واکنش اخیر را علت فراوانی پایین این کانی دانست. واکنش شماره ۴ نیز می‌تواند منجر به تشکیل استارولیت و



شکل ۱۴. a) شبکه پتروزنیک و منحنی‌های واکنشی که بر اساس نرمافزار ترموموکالک رسم شده است (Holland and Powell, 1998) b) نمودارهای سازگاری برای متاپلیت‌های گرمی چای بهمراه موقعیت ترکیبی نمونه‌ها و پاراژنرهای مربوطه. موقعیت بیوتیت، مسکویت، کردیریت و استارولیت بر اساس نتایج شیمی بلور رسم شده‌اند

می‌باشد (شکل ۱۵-a). در سودوسکشن پیشنهادی (Johnson et al., 2003) برای متاپلیت‌های با ترکیب میانگین از Pattison (1992) بازه دمایی برای بالاترین درجه پاراژنر در متاپلیت‌های گرمی چای محدودتر است و حدود ۵۳۵ تا ۶۳۵ درجه سانتیگراد می‌باشد (شکل ۱۶).

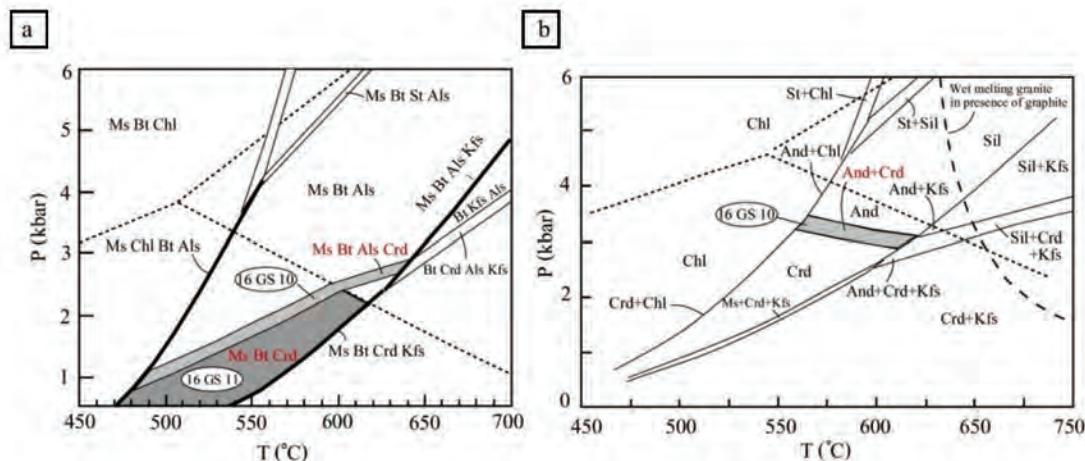
**دما و فشار دگرگونی:** به منظور ارزیابی دما و فشار متاپلیت‌ها از سودوسکشن‌های استاندارد Wei et al., (2004) و (2006) استفاده شده است. Pattison et al., (2004) در ساختار دگرگونی این سودوسکشن‌ها در این سنجگ‌ها شامل آندالوزیت درجه بالاترین پاراژنرها در این سنجگ‌ها شامل آندالوزیت-کردیریت‌دار (Bt+Ms+Crd+And) و کردیریت‌دار (Bt+Ms+Crd) می‌باشند. همان‌طور که در بالا اشاره شد پاراژنر کردیریت-آندالوزیت دار بازه دمایی ۶۴۰-۴۸۰ درجه سانتیگراد می‌باشد (شکل ۱۵-a).

برای متاپلیت‌ها (جدول ۴) می‌توان از سودوسکشن‌های استاندارد برای بررسی شرایط تعادلی و پایداری پاراژنرهای مشاهده شده استفاده کرد. سودوسکشن‌های پیشنهادی قرار گرفته‌اند (شکل ۱۵). تفاوت کمی بین میدان پایداری پاراژنرها در این دو سودوسکشن وجود دارد. پاراژنر حاوی کردیریت-آنالوزیت دار (Bt+Ms+Crd+And) (نمونه ۱۶ GS 10) در بازه دمایی ۴۸۰-۶۴۰ درجه سانتیگراد تشکیل شده است (شکل ۱۵-a). در مقطع پیشنهادی Pattison (2006) این بازه دمایی که باریک‌تر می‌باشد (-۵۶۰-۶۲۰ درجه سانتیگراد) بوده است (شکل ۱۵-b). همچنین پاراژنری که قادر آندالوزیت و حاوی کردیریت می‌باشد (نمونه ۱۶ GS 11) بازه فشار ۱/۵ تا ۱ کیلوبار را نشان می‌دهد. این در حالیست که بازه دمایی این پاراژنر ۴۷۰-۶۱۰ درجه سانتیگراد

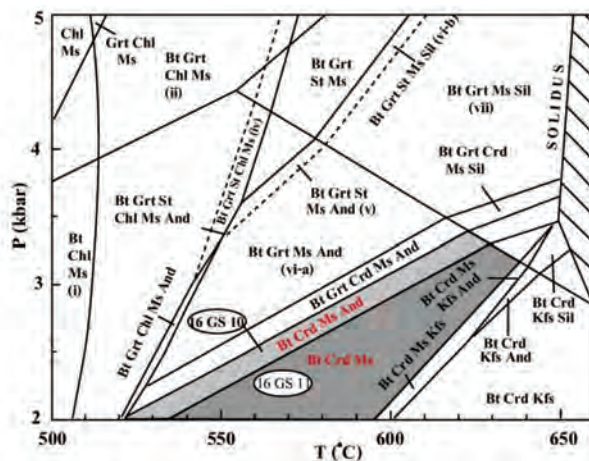
جدول ۴. میانگین‌های Ave-S و Ave-A و Ave-SF، Ave-S به ترتیب از Symmes and Ferry (1992)، Shaw (1956) و Ague (1991) می‌باشند. ترکیب میانگین متاپلیت‌های گرمی‌چای<sup>\*</sup> مشابه مقادیر میانگین مربوطه می‌باشد

Sample ID	SiO <sub>2</sub>	Al <sub>2</sub> O <sub>3</sub>	Fe <sub>2</sub> O <sub>3</sub>	CaO	MgO	Na <sub>2</sub> O	K <sub>2</sub> O	MnO
Garmichay	64/94	16/36	5/90	0/83	2/45	2/63	3/60	0/06
Avg-SF	70/59	11/54	5/81	2/75	4/61	1/98	2/66	0/07
Avg-S	70/61	14/26	6/76	0/65	3/37	1/57	2/78	0/07
Avg-A	64/76	13/70	8/89	1/90	5/54	2/01	2/95	0/18

\*Garmichay



شکل ۱۵. (a) سودوسکشن دما-فشار (Wei et al., 2004) برای ترکیب میانگین متاپلیت‌های دما-فشار برای متاپلیت‌ها (Mahar et al., 1997) (b). سودوسکشن دما-فشار برای آلومینو-سیلیکات‌ها در این نمودار از Pattison (1992) می‌باشد، هر دو سیستم KFMASH می‌باشند. میدان‌های خاکستری مربوط به میدان‌های پایداری پاراژن‌های مربوط به نمونه‌های موجود در داخل بیضی‌ها می‌باشند (مریبوط به دگرگونی ناحیه‌ای)

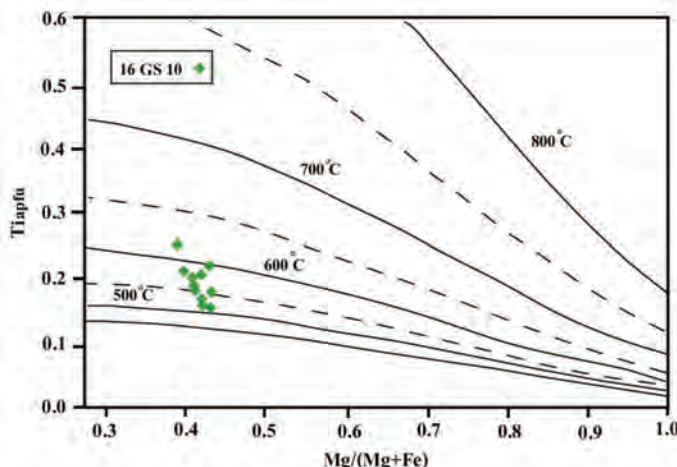


شکل ۱۶. سودوسکشن دما-فشار برای متاپلیت‌ها در سیستم MnNCKFMASH نشانده‌نده مجموعه‌های پایدار بر اساس ترکیب میانگین ارائه شده توسط Pattison (1992). میدان‌های خاکستری مربوط به میدان‌های پایداری پاراژن‌های نمونه‌های موجود در داخل بیضی‌ها را نشان می‌دهند (Johnson et al., 2003)

باریکتری بدست می‌دهند که بترتیب ۵۶۰-۵۲۰ و ۶۴۰-۶۳۵ درجه سانتیگراد تشکیل شده است (شکل ۱۶). بنابراین درجه سانتیگراد می‌باشند. زون کردیریت-مسکویت که درجه بالاترین دمایی که برای متاپلیت‌های گرمی‌چای می‌توان در نظر گرفت حدود ۶۳۵ درجه سانتیگراد می‌باشد. بر اساس

دماهی تشکیل بیوپتیت در نمونه 16 GS بین ۵۰۰ تا ۶۰۰ درجه سانتیگراد بوده است (شکل ۱۷) که مشابه دماهی بدست آمده توسط سودوسکشن‌های استاندارد می‌باشد.

همین مقاطع حداکثر فشار برای این سنگ‌ها حدود ۳ کیلوبار بوده است. بر اساس نمودار پیشنهادی Henry et al. (2005) که بر اساس فراوانی Ti در بیوپتیت می‌باشد

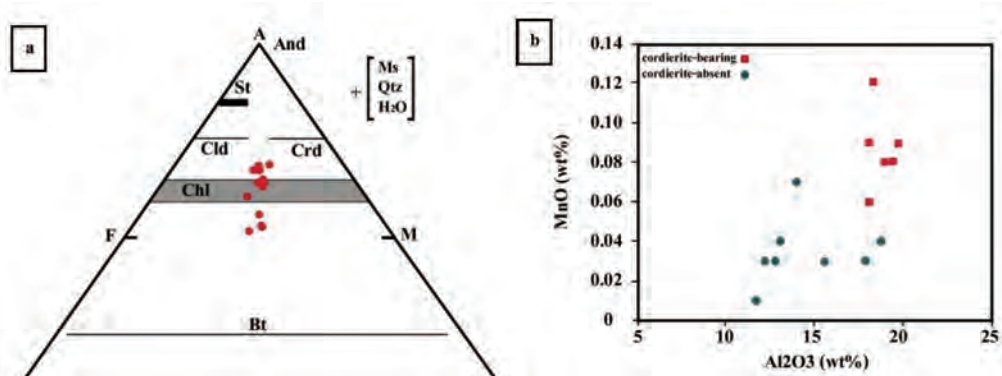


شکل ۱۷. دماسنجد Ti (apfu) در مقابل  $Mg/(Mg+Fe)$ . بر اساس ترکیب بیوپتیت، این کانی در پارازنز (Crd+Bt+And) در دماهای ۵۰۰ تا ۶۰۰ درجه سانتیگراد تشکیل شده است

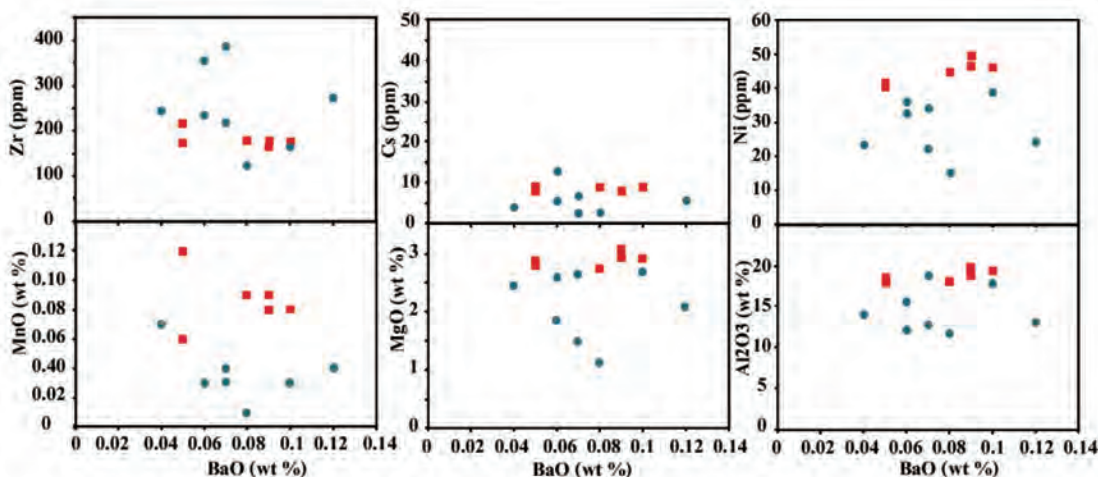
و فاقد کردیریت در منطقه گرمی‌چای در نمودار  $Al_2O_3$ - $Fe^{2+}/Mg$  برابر  $MnO$  مقادیر متفاوتی از اکسید  $MnO$  نشان می‌دهند (شکل ۱۸-۱۸b). به علاوه میزان  $Al_2O_3$  در نمونه‌های حاوی کردیریت به نسبت پایین می‌باشد (شکل ۱۸-۱۸b). بنابراین  $MnO$  شاید نقش مهمی در شکل‌گیری پارازنز‌های حاوی کردیریت ایفاء کرده است.

به منظور بررسی نقش عناصر جزئی نظری  $Zr$ ,  $Ni$  و  $Cs$  در تشکیل کردیریت نمودارهای دوتایی این عناصر در برابر  $BaO$  رسم شده‌اند (شکل ۱۹).  $BaO$  به دلیل فراوانی مشابه بین نمونه‌های حاوی و فاقد کردیریت انتخاب شده است. نمونه‌های حاوی کردیریت مقادیر کمتری از  $Zr$  را نشان می‌دهند (شکل ۱۹). در مقابل  $Ni$  و  $Cs$  هرچند کمتر، اما با این حال مقادیر بالاتری در نمونه‌های حاوی کردیریت نشان می‌دهند. مقادیر پایین  $Cs$  در تضاد با یافته‌های Bertoldi et al. (2004) می‌باشد که می‌تواند ناشی از دگرسانی کانی‌های کردیریت باشد. به علاوه  $MnO$ ,  $MgO$ ,  $Al_2O_3$  و  $K_2O$  فراوانی به نسبت بالاتری در نمونه‌های حاوی کردیریت دارند که حاکی از نقش آنها در تشکیل کردیریت می‌باشد.

شیمی سنگ کل و پارازنز‌های کانیابی: نسبت  $Fe^{2+}/Mg$  سنگ منشاء نقش بسیار مهمی در شکل‌گیری کانیکردیریت به عنوان کانی شاخص ایفاء می‌کند (Bucher and Grapes, 2011) و این کانی در سنگ‌های غنی از منیزیم شکل‌گیرد. در نمودار مثلثی AFM ترکیبات سنگ کل حاوی کردیریت و فاقد کردیریت تصویر شده‌اند که تغییری در این نسبت نشان نمی‌دهند (شکل ۱۸a). تفاوت در میزان  $Al_2O_3$  که در پارازنز‌های کانیابی و فراوانی کانی‌های آلمینیوم دار (کردیریت و میکاها) دیده می‌شود ناشی از دو پروتولیت متفاوت (شیلی و پسامیتی) می‌باشد. بنابراین نسبت  $Fe^{2+}/Mg$  نقشی در تشکیل کردیریت در این سنگ‌ها نداشته است. مجموعه‌های کانیابی در متاپلیت‌ها تحت تأثیر ترکیب عناصر جزئی قرار می‌گیرند. به عنوان مثال مقادیر پایین  $MnO$  می‌تواند منجر به کاهش ایزوگراد گارتنت به اندازه ۱۰۰ درجه سانتیگراد شود (Mahar et al., 1997). افزایش  $MnO$  باعث کاهش میدان پایداری استارولیت، کردیریت و به مقدار کمتر کلریت می‌شود. اعتقاد بر این است که نقش  $MnO$  باقیستی بهمراه  $Al_2O_3$  و  $K_2O$  مورد بررسی قرار داد (Wei et al., 2004). نمونه‌های حاوی کردیریت



شکل ۱۸. a) شیمی سنگ کل نمونه‌های گرمی‌چای تصویر شده بر روی نمودار AFM براي  $\text{Fe}^{2+}/\text{Mg}$ . روشن است که تنوع چندانی در نسبت  $\text{Fe}^{2+}/\text{Mg}$  نمودارهای مختلف دیده نمی‌شود و فقط میزان Al این نمونه‌ها تغییر هر چند کمی را نشان می‌دهند، b) نمودار دوتایی MnO (wt%) vs  $\text{Al}_2\text{O}_3$  (wt%) نسبت به نمونه‌های فاقد کردیریت (مربع‌های توپر) مقادیر به نسبت پایین‌تری از  $\text{MnO}$  و  $\text{Al}_2\text{O}_3$  (wt%) نشان می‌دهند



شکل ۱۹. نمودارهای دوتایی عناصر جزئی در برابر  $\text{BaO}$ . همان‌طور که ملاحظه می‌شود تفاوت روشنی در میزان عناصر جزئی ( $\text{Zr}$ ,  $\text{Ni}$ ,  $\text{Cs}$ ,  $\text{MgO}$ ,  $\text{MnO}$  و  $\text{Al}_2\text{O}_3$ ) بین نمونه‌های فاقد کردیریت (دوایر توپر) و حاوی کردیریت (مربع‌های توپر) وجود دارد

شواهد پتروگرافی دو فاز اصلی دگرشکلی در شیست‌ها شناسایی شده‌اند. فاز دوم دگرشکلی منجر به چین خوردگی شیستوزیته غالب سنگ شده و کلیواژ کرینولیشن تشکیل شده است. انحراف فولیاسیون در اطراف پورفیروبلاست‌ها، سایه‌های فشاری نامتقارن و روند S شکل اینکلوزن در داخل برخی از پورفیروبلاست‌های کردیریت حاکی از تشکیل هم‌زمان با تکتونیک پورفیروبلاست‌ها است.

بر اساس بررسی‌های انجام گرفته پروتولیت شیست‌ها شیل و گریوک بدست آمده است. همبستگی مثبت بین عناصر در فیلوسیلیکات‌ها (به عنوان مثال بیوتیت)، کردیریت

## نتیجه‌گیری

بر اساس مطالعه حاضر متابلیت‌های گرمی‌چای سه حادثه مجزای دگرگونی را (دو حادثه ناحیه‌ای و یک حادثه مجاورتی) پشت سر گذاشته‌اند. در طول اولین حادثه دگرگونی (RMP1) مسکوکیت و بیوتیت تشکیل شده‌اند. حادثه دوم (RMP2) منجر به شکل‌گیری کردیریت و آندالوزیت در قالب سه پاراژنز حاوی کردیریت (فاقد آندالوزیت)، حاوی آندالوزیت (فاقد کردیریت) و حاوی کردیریت-آندالوزیت شده است. توده‌های نفوذی جوان متعددی به داخل شیست‌ها نفوذ کرده‌اند که در نتیجه آن شیست‌های قدیمی متحمل دگرگونی مجاورتی (CM) درجه پایین شده‌اند. بر اساس

م.، بهروزی، ا.، حقی پور، ا. و عمیدی، م.، ۱۳۵۷. نقشه زمین‌شناسی میانه (۱:۲۵۰۰۰). سازمان زمین‌شناسی ایران.  
- محمدامد، ا.، مؤید، م. و مجرد، م.، ۱۳۹۹. گرانیتهای تیپ S منطقه گرمی چای (شمال غرب ایران): شیمی سنگ کل، جایگاه زمین ساختی و ساز و کار تشکیل. مجله پetroلولوژی، ۴۱، ۵۳-۷۲.

- Ague, J. J., 1991. Evidence for major mass transfer and volume strain during regional metamorphism of Pelites. *Geology*, 19, 855-858.

- Bertoldi, C., Poyer, A., Schonberg, D. G., Behrens, H. and Dachs, E., 2004. Comprehensive chemical analyses of natural cordierites: implications for exchange Mechanisms. *Lithos*, 78, 389-409.

- Bierlein, F. P., 1995. Rare-earth element geochemistry of clastic and chemical metasedimentary rocks associated with hydrothermal sulphide mineralisation in the Olary Block, South Australia. *Chemical Geology*, 122, 77-98.

- Boles, J. R. and Franks, S. G., 1979. Clay diagenesis in Wilcox sandstones of southwest Texas, implications of smectite diagenesis on sandstone cementation. *Jornal of Sedimentary Petrology*, 49, 55-70.

- Bucher, K. and Frey, M., 1994. Petrogenesis of Metamorphic Rocks. Springer Verlag, 318.

- Bucher, K. and Grapes, R. (2011) Petrogenesis of Metamorphic Rocks. Springer-Verlag, 428.

- Condie, K. C., 1993. Chemical composition and evolution of the upper continental crust: contrasting results from surface samples and shales. *Chemical Geology*, 104, 1-37.

- Condie, K. C., 1997. Plate Tectonics and Crustal Evolution. 4th edition. Butterworth-Heinemann, 282.

- Cullers, R.L., Bock, B. and Guidotti, C., 1997. Elemental distributions and neodymium isotopic compositions of Silurian metasediments,

واکسیدها (مانند ایلمنیت) می‌باشد. نسبت Th/U (۳/۷۲) در متاپلیت‌های گرمی چای حاکی از شرایط اکسیدی در طول رسوب‌گذاری می‌باشد. LREE در این سنگ‌ها غنی شدگی بیشتری نسبت به HREE نشان می‌دهند. همبستگی مثبت بسیار کمی بین  $\Sigma\text{REE}$  و  $\text{P}_2\text{O}_5$ ,  $\text{TiO}_2$ ,  $\text{Al}_2\text{O}_3$ ,  $\text{K}_2\text{O}$  در دیده می‌شود. بنابراین کانی‌های رسی همیشه توزع در این رسوبات را کنترل نمی‌کنند. در مقابل سایر فازها نظری فیلوسیلیکات‌ها، کانی‌های عناصر جزئی و فرعی (مانند ایلمنیت، آپاتیت و مونازیت) می‌بازان‌های محتمل برای REE می‌باشند. ویژگی‌های روش‌شیمیابی عناصر اصلی و فرعی حاکی از سنگ منشاء آذرین حدواتسط تا اسیدی برای شیسته‌های گرمی چای می‌باشد. همچنین محیط تکتونیکی تشکیل رسوب حاشیه‌فعال قاره‌ای بوده که در طول پرکامبرین در یکی از شاخه‌های پروتوتیس تشکیل شده است.

با توجه به نسبت ثابت  $\text{Fe}^{2+}/\text{Mg}$  در نمودار AFM برای تمامی نمونه‌ها می‌توان نتیجه گرفت که این نسبت در تشکیل پاراژن‌ها نقشی نداشته است. این تفاوت که در ترکیب دوگانه شیلی (غنى از کانی‌های رسی) و گریوکی (ماسه سنگ گریوکی) (غنى از کوارتز و فلدسپار) برای متاپلیت‌های گرمی چای نیز مشاهده شده است ناشی از ترکیب متفاوت سنگ مادر رسوبی می‌باشد. همچنین قرارگیری ترکیبات سنگ کل در داخل مثلهای پاراژنیک در نمودارهای سازگاری حاکی از تعادلی بودن پاراژن‌هاست. نمونه‌های حاوی کردیریت دارای مقادیر به نسبت بالاتری از  $\text{Cs}$  و  $\text{Zr}$ ,  $\text{Ni}$  و  $\text{MnO}$  می‌باشند. به علاوه  $\text{Al}_2\text{O}_3$  و  $\text{MgO}$  دارای مقادیر بالاتری در نمونه‌های حاوی کردیریت هستند. این نتایج حاکی از نقش این عناصر در شکل‌گیری پاراژن‌های حاوی کردیریت می‌باشد. در نهایت دما و فشار تشکیل درجه بالاترین پاراژن بترتیب بین ۵۳۵-۶۳۵ درجه سانتیگراد و ۱-۳ کیلوبار بوده است.

## منابع

- بهروزی، ا.، امینی آذر، ر.، عزیزان، ف.، امامی، م.، داوری، م.، هادوی، ف. و بغدادی، ا.، ۱۳۷۱. نقشه زمین‌شناسی سراب (۱:۱۰۰۰۰). سازمان زمین‌شناسی ایران.
- علوی تهرانی، ن.، لطفی، م.، بوردت، پ.، سبزه‌ای،

- western Maine, USA: Redistribution of the rare earth elements. *Geochimica et Cosmochimica Acta*, 61, 1847–1861.
- Eftekharnejad, J., 1975. Brief history and structural development of Azarbaijan. Geological Survey of Iran. Internal Report, 8.
  - Elias, E. M. and Al-Jubory, Z. J., 2013. Provenance and tectonic setting of the metapelites deposits in the Bulfat Complex, NE-Iraq. *Arabian Journal of Geosciences*, 7(9), 3589–3598.
  - Fedo, C. M., Nesbitt, H. W. and Young, G. M., 1995. Unravelling the effects of potassium metasomatism in sedimentary rocks and paleosols, with implications for paleoweathering conditions and provenance. *Geology*, 23, 921–924.
  - Feng, R. and Kerrich, R., 1990. Geochemistry of fine-grained clastic sediments in the Archean Abitibi greenstone belt, Canada: implications for provenance and tectonic setting. *Geochimica et Cosmochimica Acta*, 54, 1061–1081.
  - Floyd, P. A., Winchester, J. A. and Park, R. G., 1989. Geochemistry and tectonic setting of Lewisian clastic metasediments from the early Proterozoic Lock Marie Group of Gairlock, Scotland. *Precambrian Research*, 45, 203–214.
  - Garcia, D., Fonteilles, M. and Moutte, J., 1994. Sedimentary fractionations between Al, Ti, and Zr and the genesis of strongly peraluminous granites. *Journal of Geology*, 102, 411–422.
  - Girty, G. H., Ridge, D. L., Knaack, C., Johnson, D. and Riyami R. K. A., 1996. Provenance and depositional setting of Paleozoic chert and argillite, Sierra Nevada, California. *Journal of Sedimentary Research*, 66, 107–118.
  - Hallberg, J. A., 1984. A geochemical aid to igneous rock identification in deeply weathered terrain. *Journal of Geology Exploration*, 20, 1–8.
  - Hawkesworth, C., Cawood, P. A. and Dhuime, B., 2019. Rates of generation and growth of the continental crust. *Geoscience Frontiers*, 10, 165–173.
  - Henry, D. J. and Guidotti, C. V., 2002. Titanium in biotite from metapelitic rocks: Temperature effects, crystal-chemical controls and petrologic applications. *American Mineralogist*, 87, 375–382.
  - Henry, D., Guidotti, C. and Thomson, J., 2005. The Ti-Saturation Surface for Low-to-Medium Pressure Metapelitic Biotites: Implications for Geothermometry and Ti-Substitution Mechanism. *American Mineralogist*, 90, 316–328.
  - Herron, M. M., 1988. Geochemical classification of terrigenous sands and shales from core or log data. *Journal of Sedimentary Petrology*, 58, 820–829.
  - Holland, T. J. B. and Powell, R., 1998. An internally consistent thermodynamic dataset for phase of petrological interest. *Journal of Metamorphic Geology*, 16, 309–343.
  - Ji, S., Saruwatari, K., Mainprice, D., Wirth, R., Xu, Z. and Xia, B., 2003. Microstructures, petrofabrics and seismic properties of ultra high-pressure eclogites from Sulu region, China: implications for rheology of subducted continental crust and origin of mantle reflections. *Tectonophysics*, 370, (1–4), 49–76.
  - Johnson, T. M., Brown, M. and Solar G. A., 2003. Low-pressure subsolidus and suprasolidus phase equilibria in the Mn-NCKFMASH-system: Constraints on conditions of regional metamorphism in western Maine, Northern Appalachians, 88, 624–638.
  - Kretz, R., 1983. Symbols for rock-forming minerals. *American Mineralogist*, 68, 277–279.
  - Long, X., Sun, M., Yuan, C., Xiao, W. and Cai, K., 2008. Early Paleozoic sedimentary record of the Chinese Itai; Implications for its tectonic evolution. *Sedimentary Geology*, 208, 88–

100.

- Mahar, E. M., Baker, J. M., Powell, R., Holland, T. J. B. and Howell, N., 1997. The effect of Mn on mineral stability in metapelites. *Journal of Metamorphic Geology*, 15, 223-238.
- Maynard, J. B., Valloni, R. and Yu, H., 1982. Composition of modern deep sea sands from arc-related basin. *Geology Society of London. Special Publication*, 10, 551-561.
- Mason, B. and Moore, C. B., 1982. Principle of Geochemistry. John Wiley and Sons. Fourth Ed, 352.
- McLennan, S. M. and Taylor, S. R., 1991. Sedimentary rocks and crustal evolution: tectonic setting and secular trends. *Journal of Geology*, 99, 1-21.
- Meres, S., 2005. Major, trace element and REE geochemistry of metamorphosed sedimentary rocks from the Malé Karpaty Mts. (Western Carpathians, Slovak Republic): Implications for sedimentary and metamorphic processes. *Slovak Geological Magazine*, 11, (2-3), 107-122.
- Middelburg, J. J., Van Der Weijden, C. H. and Woittiez, J. R. W., 1988. Chemical processes affecting the mobility of major, minor and trace elements during weathering of granitic rocks. *Chemical Geology*, 68, 253-273.
- Nadimi, A., 2007, Evolution of the Central Iranian basement. *Gondwana Research*, 12, 324-333.
- Nesbitt, H. W. and Young, G. M., 1982. Early Proterozoic climates and plate motions inferred from major element chemistry of lutites. *Nature*, 199, 715-717
- Nesbitt, H. W. and Young, G. M., 1984. Prediction of some weathering trends of plutonic and volcanic rocks based on thermodynamic and kinetic considerations. *Geochimica et Cosmochimica Acta*, 8, 1523-1534.
- Nesbitt, H., Young, G. and Bosman, S., 2009. Major and trace element geochemistry and genesis of supracrustal rocks of the North Spirit Lake Greenstone belt, NW Ontario, Canada. *Precambrian Research*, 174, 16-34.
- Passchier, C. W., 1994. Mixing in flow perturbations: a model for development of mantled porphyroclasts in mylonites. *Journal of Structural Geology*, 16, 733-736.
- Passchier, C. W. and Trouw, R. A. J., 2005, *Microtectonics*. 2nd edition, Springer, 289.
- Pattison, D. R. M., 1992. Stability of andalusite and sillimanite and the Al<sub>2</sub>SiO<sub>5</sub> triple point: Constraints from the Ballachulish aureole, Scotland. *Journal of Geology*, 100, 423-446.
- Pattison, D. R. M., 2006. The fate of graphite in prograde metamorphism of pelites: An example from the Ballachulish aureole, Scotland. *Lithos*, 88, 85-99.
- Piazolo, S. and Passchier, C. W., 2002. Controls on lineation development in low to medium grade shear zones: a study from the Cap de Creus peninsula, NW Spain. *Journal of Structural Geology*, 24, 25-44.
- Potter, P. E., Maynard, J. B. and Depetris, P. J., 2005. *Mud and Mudstones: Introduction and Overview*. Heidelberg, Springer-Verlag, 308.
- Puchelt, H., 1972. Barium. *Handbook of Geochemistry* (Wedepohl, K. H. et al., eds.), 56B1-56O2, Springer, Berlin, 458.
- Puelles, P., Abalos, B., Gil Ibarguchi, J. I. and Fernandez-Armas, S., 2018. Petrofabric of forsterite marbles and related rocks from a low-pressure metamorphic terrain (Almadén de la Plata massif, Ossa-Morena Zone, SW Spain) and its kinematic interpretation. *Journal of Structural Geology*, 117, 58-80.
- Ramezani, J. and Tucker, R. D., 2003. The Saghand Region, Central Iran: U-Pb geochro-

- nology, petrogenesis and implications for Gondwana Tectonics. *American Journal of Science*, 303, 622-665.
- Roser, B. P. and Korsch, R. J., 1988. Provenance signatures of sandstone-mudstone suites determined using discriminant function analysis of major-element data. *Chemical Geology*, 67, 119-139.
  - Rollinson, H., 1993. Using geochemical data: evolution, presentation, interpretation. Longman Scientific and Technical, London, 384.
  - Saki, A., 2010. Proto-Tethyan remnants in northwest Iran: geochemistry of the gneisses and metapelitic rocks. *Gondwana Research*, 17, (4), 704-714.
  - Shahzeidi, M., Moayyed, M., Murata, M., Yui, T., Arai, Sh., Chene, F., Pirnia, T. and Ahmadian, J., 2016. Late Ediacaran crustal thickening in Iran: Geochemical and isotopic constraints from the ~550 Ma Mishu granitoids (northwest Iran) *International Geology Review*, 59, 793-811.
  - Shaw, D. M., 1956. Geochemistry of pelitic rocks: Part III. Major elements and general geochemistry. *Geological Society of American Bulletin*, 67, 919-934.
  - Spear, F. S., 1995. Metamorphic phase equilibria and pressure-temperature-time paths. Mineralogical Society of America, Monographs, 799.
  - Stocklin, J., 1968. Structural history and tectonics of Iran: a review. *American Association of Petroleum Geological Bulletin*, 52, (7), 1229-1258.
  - Symmes, G. H. and Ferry, J. M., 1992. The effect of whole-rock MnO content on the stability of garnet in pelitic schists during metamorphism. *Journal of Metamorphic Geology*, 10, 221-238.
  - Taylor, S. R. and McLennan, S. M., 1985. The Continental Crust: Its Composition and Evolution. Blackwell, Oxford, 312.
  - Toulkeridis, T., Clauer, N., Kroner, A., Reimer, T. and Todt, W., 1999. Characterization, provenance, and tectonic setting of Fig Tree graywackes from the Archean Barberton Greenstone Belt, South Africa. *Sedimentary Geology*, 124, 113-129.
  - Vergara, M., Levi, B., Nystrom, J. O. and Cancino, A., 1995. Jurassic and Early Cretaceous island arc volcanism, extension, and subsidence in the Coat Range of central Chile. *Geological Society of American Bulletin*, 107, 1427-1440.
  - Wei, C. J., Powell, R. and Clarke, G. L., 2004. Calculated phase equilibria for low-and medium-pressure metapelites in the KFMASH and KMnFMASH systems. *Journal of Metamorphic Geology*, 22, 495-508.
  - Werner, C. D., 1987. Saxonian granulites-igneous or lithoigneous: a contribution to the geochemical diagnosis of the original rock in high metamorphic complexes. *ZfL Mitteilungen*, 13, 221-250.
  - Whitney, D. L. and Evans, B. W., 2010. Abbreviations for names of rock-forming minerals. *American Mineralogist*, 95, 185-187.
  - Winchester, J. A. and Floyd, P. A., 1977. Geochemical discrimination of different magma series and their differentiation products using immobile elements. *Chemical Geology*, 20, 325-343.
  - Young, G. and Nesbitt, H., 1998. Processes controlling the distribution of Ti and Al in weathering profiles, siliciclastic sediments and sedimentary rocks. *Journal of Sedimentary Research*, 68, 448-455.